

Resistencia de Materiales 1A

Profesor Herbert Yépez Castillo

2014-2

Capítulo 7. Cortante transversal

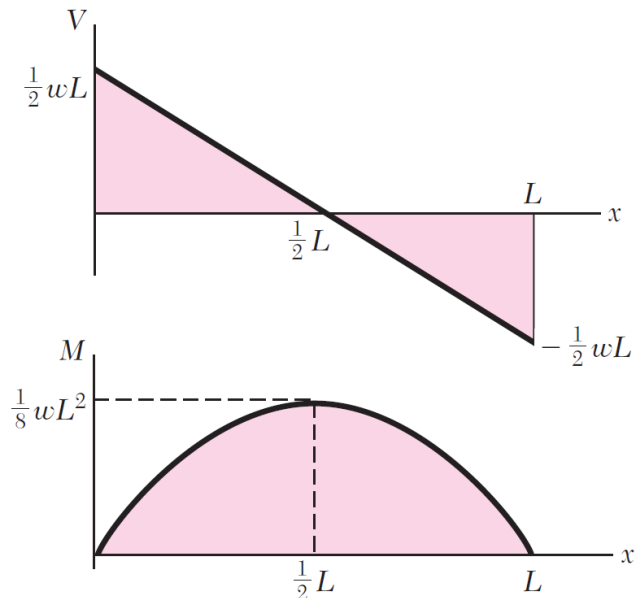
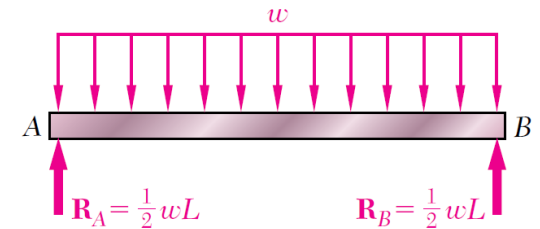
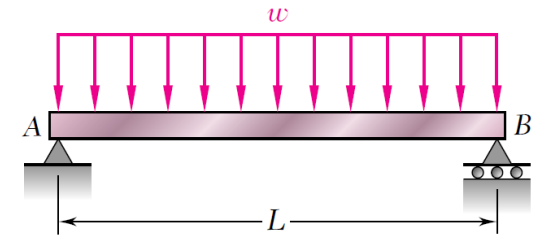
- 7.1 Cortante en vigas
- 7.2 Relación entre carga cortante y momento
- 7.3 Formulación del cortante
- 7.4 Esfuerzo cortante en vigas
- 7.5 Flujo cortante en miembros armados

7.1 Cortante en vigas

Resistencia de Materiales 1A - Prof. Herbert Yépez C.

7.1 Cortante en vigas

- Se debe tomar en cuenta que las vigas en general están sometidas a cargas transversales, las cuales no solo provocan **momentos flectores internos**, sino también **fuerzas cortantes internas**.
- La carga V , que representa la fuerza cortantes internas, es necesaria para el equilibrio de translación y es resultado de la distribución de **esfuerzos cortantes transversales**.



7.1 Cortante en vigas

7.2 Relación entre carga cortante y momento

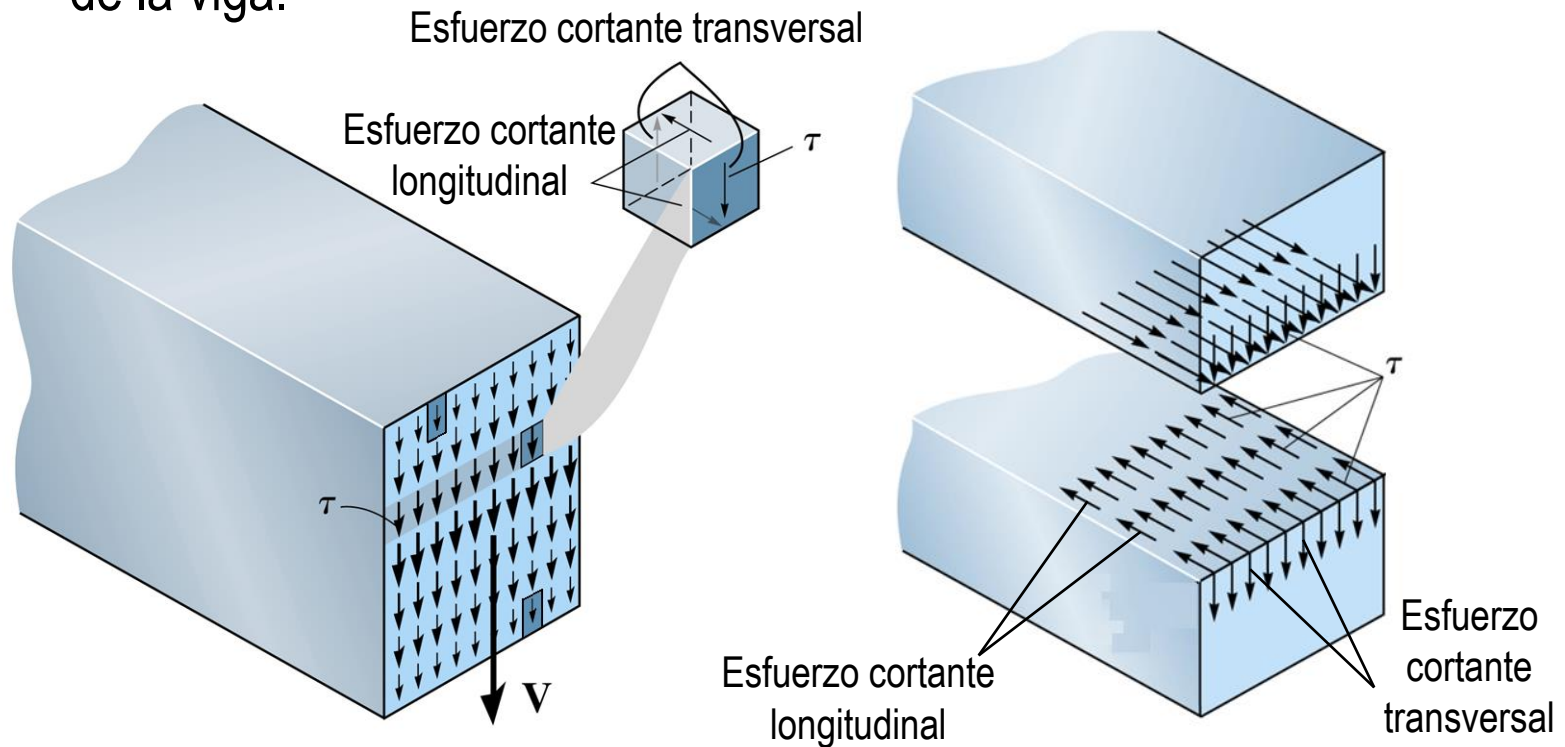
7.3 Formulación del cortante

7.4 Esfuerzo cortante en vigas

7.5 Flujo cortante en miembros armados

7.1 Cortante en vigas

- **Los esfuerzos cortantes transversales** que actúan sobre la sección transversal siempre están asociados **esfuerzos cortantes longitudinales**, los cuales actúan a lo largo de planos longitudinales de la viga.



7.1 Cortante en vigas

7.2 Relación entre carga cortante y momento

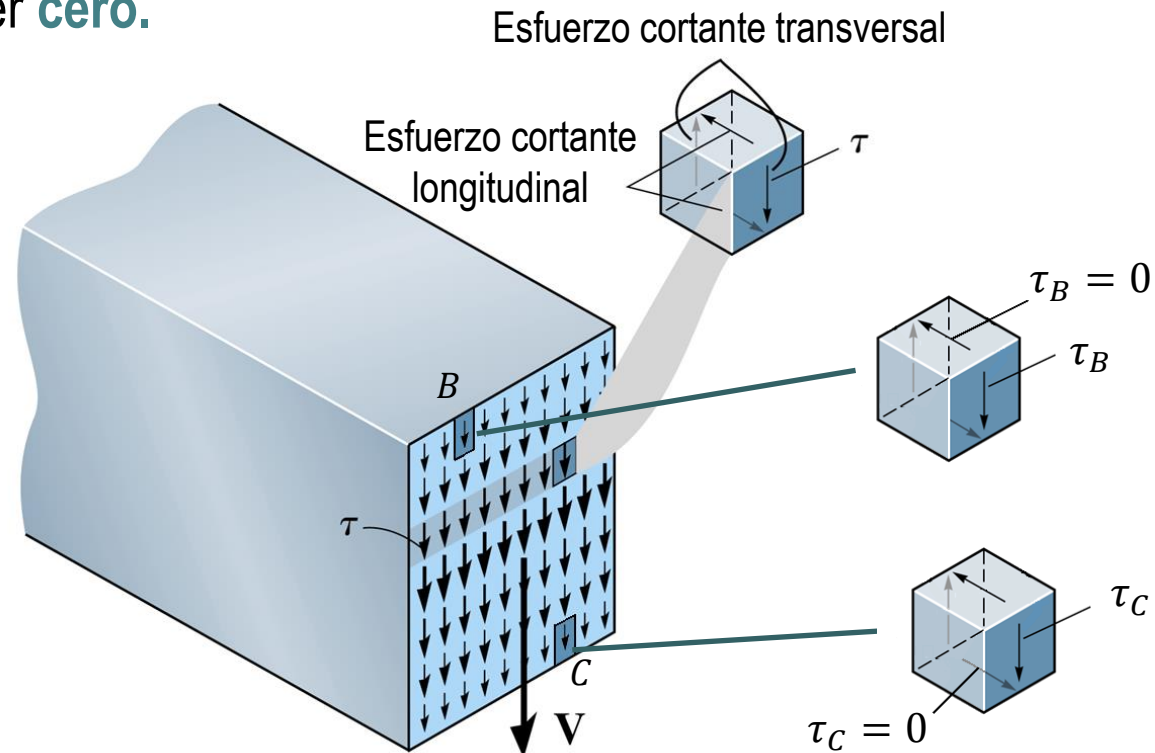
7.3 Formulación del cortante

7.4 Esfuerzo cortante en vigas

7.5 Flujo cortante en miembros armados

7.1 Cortante en vigas

- En particular, los esfuerzos cortantes longitudinales de los puntos B y C **son iguales a cero** puesto que la superficie superior e inferior de la viga están libres de carga.
- Por lo tanto, el esfuerzo cortante transversal en estos puntos también debe ser **cero**.



7.1 Cortante en vigas

7.2 Relación entre carga cortante y momento

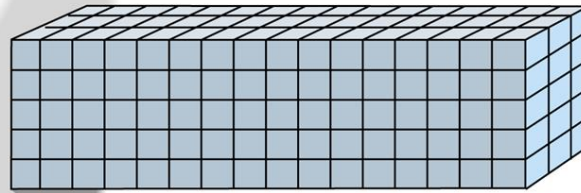
7.3 Formulación del cortante

7.4 Esfuerzo cortante en vigas

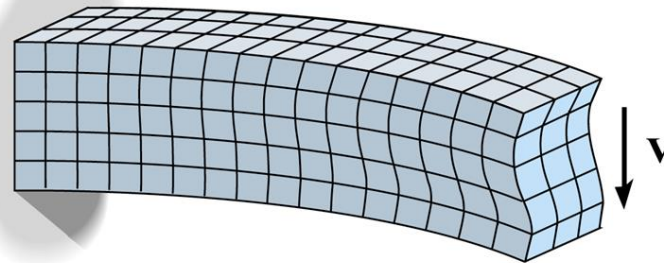
7.5 Flujo cortante en miembros armados

7.1 Cortante en vigas

- Para demostrar como varían las deformaciones por cortante se considera un viga de material altamente deformable.



Viga sin deformar



Viga deformada

- Cuando se aplica la fuerza cortante, esta provoca el **alabeo** de la sección transversal.
- Los cubos en la superficie superior e inferior de la viga **conservan su forma**, ya que el esfuerzo cortante en dichas superficies es igual a **cero**.
- Mientras que la **deformación máxima** se presenta en los cubos centrales de la sección de la viga.

7.1 Cortante en vigas

7.2 Relación entre carga cortante y momento

7.3 Formulación del cortante

7.4 Esfuerzo cortante en vigas

7.5 Flujo cortante en miembros armados

7.2 Relación entre carga cortante y momento

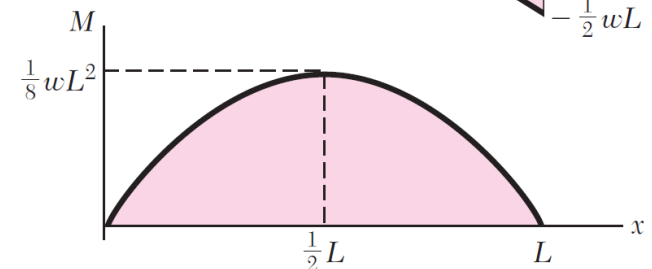
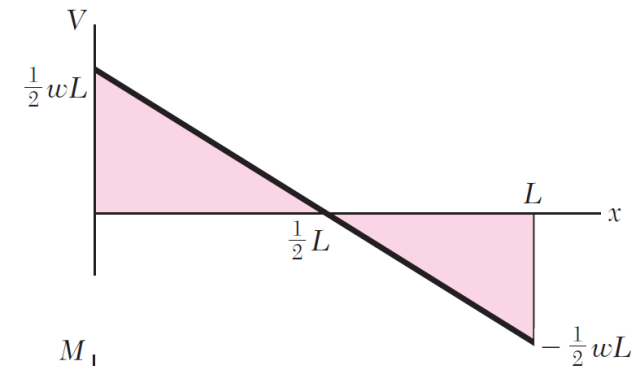
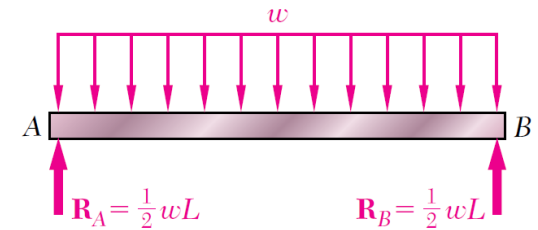
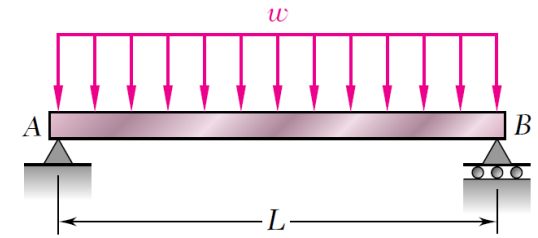
7.2 Relación entre carga cortante y momento

- El cambio del cortante interno es igual a la intensidad negativa de la carga distribuida.

$$\frac{dV}{dx} = -w(x)$$

- El cambio del momento flector interno es igual al cortante interno en un punto.

$$\frac{dM}{dx} = V$$



7.1 Cortante en vigas

7.2 Relación entre carga cortante y momento

7.3 Formulación del cortante

7.4 Esfuerzo cortante en vigas

7.5 Flujo cortante en miembros armados

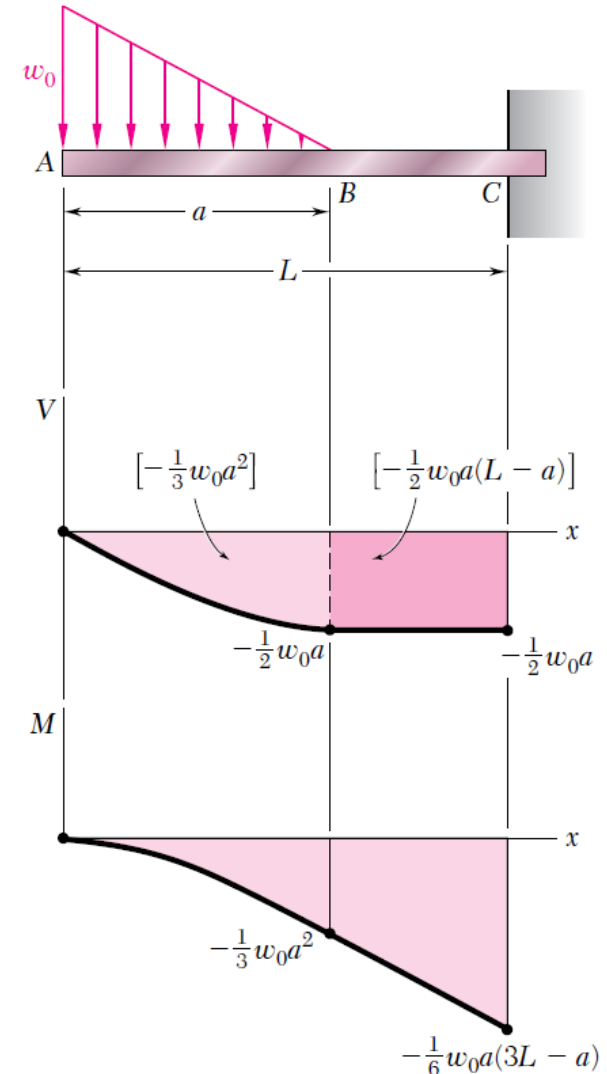
7.2 Relación entre carga cortante y momento

- El cambio del cortante interno es igual a la intensidad negativa de la carga distribuida.

$$\frac{dV}{dx} = -w(x)$$

- El cambio del momento flector interno es igual al cortante interno en un punto.

$$\frac{dM}{dx} = V$$



7.1 Cortante en vigas

7.2 Relación entre carga cortante y momento

7.3 Formulación del cortante

7.4 Esfuerzo cortante en vigas

7.5 Flujo cortante en miembros armados

7.3 Formulación del cortante

Resistencia de Materiales 1A - Prof. Herbert Yépez C.

7.3 Formulación del cortante

- La **relación** entre la distribución de **esfuerzos cortantes** y la **fuerza cortante resultante** que actúan sobre la sección transversal de la viga, se basa en el **análisis** de los **esfuerzos cortantes longitudinales**.

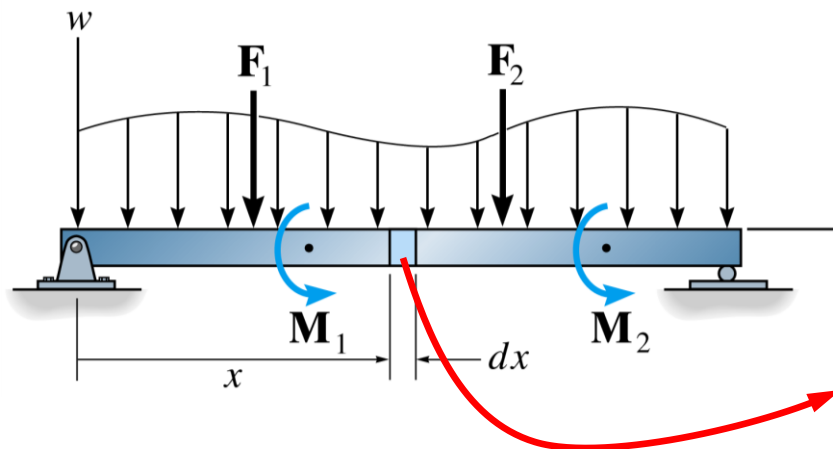
7.1 Cortante en vigas

7.2 Relación entre carga cortante y momento

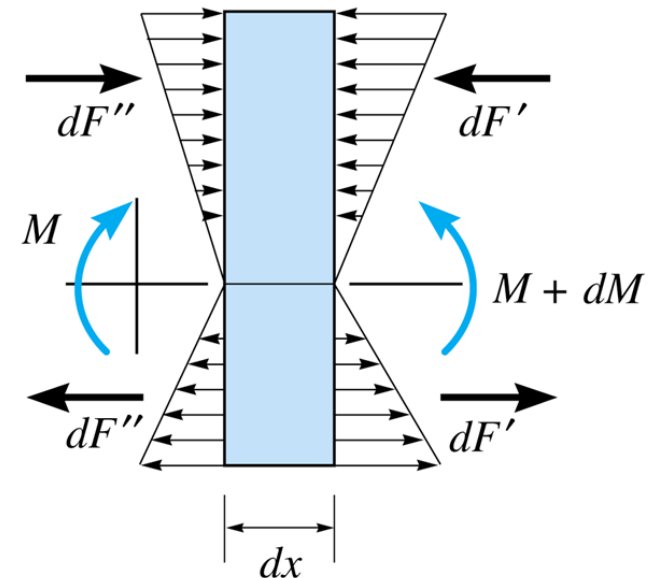
7.3 Formulación del cortante

7.4 Esfuerzo cortante en vigas

7.5 Flujo cortante en miembros armados



$$\Sigma F_x = 0 \text{ satisfecha}$$



7.3 Formulación del cortante

- Se considera un segmento definido a y' del eje neutro, el cual posee un ancho t en el corte y a los lados un área A' .
- Además, se considera que el esfuerzo cortante longitudinal τ es constante y actúa en la cara inferior del segmento.

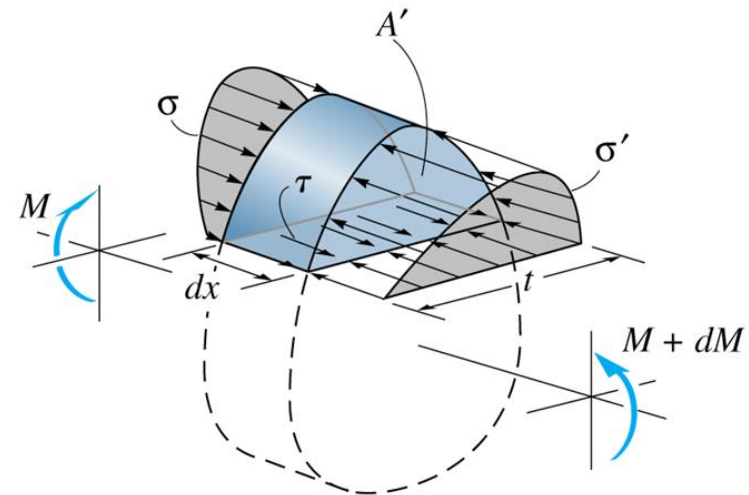
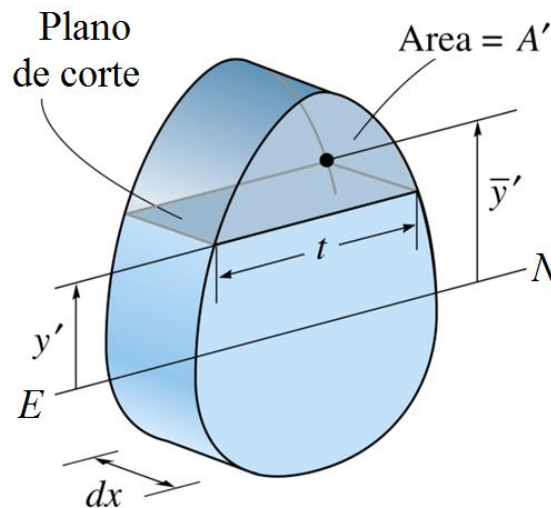
7.1 Cortante en vigas

7.2 Relación entre carga cortante y momento

7.3 Formulación del cortante

7.4 Esfuerzo cortante en vigas

7.5 Flujo cortante en miembros armados



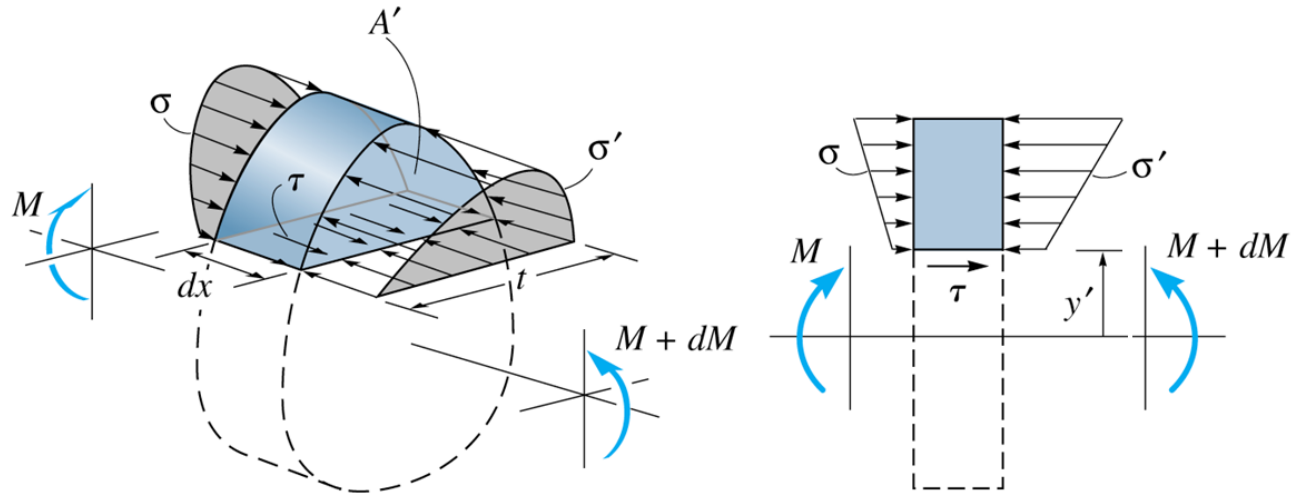
7.3 Formulación del cortante

$$\Sigma F_x = 0$$

$$\int_{A'} \sigma' dA - \int_{A'} \sigma dA - \tau(t dx) = 0$$

Donde

$$\sigma = \frac{M}{I} y \quad \sigma' = \frac{(M + dM)}{I} y$$



7.1 Cortante en vigas

7.2 Relación entre carga cortante y momento

7.3 Formulación del cortante

7.4 Esfuerzo cortante en vigas

7.5 Flujo cortante en miembros armados

7.3 Formulación del cortante

7.1 Cortante en vigas

7.2 Relación entre carga cortante y momento

7.3 Formulación del cortante

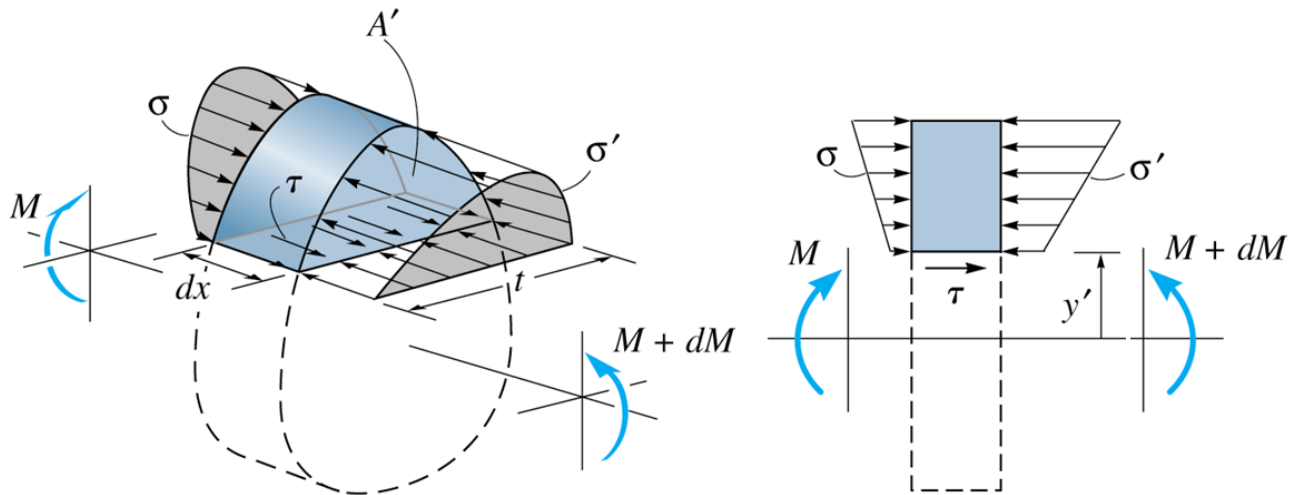
7.4 Esfuerzo cortante en vigas

7.5 Flujo cortante en miembros armados

$$\int_{A'} \frac{(M + dM)}{I} y dA - \int_{A'} \frac{M}{I} y dA - \tau(t dx) = 0$$

Entonces

$$\frac{dM}{I} \int_{A'} y dA = \tau(t dx)$$



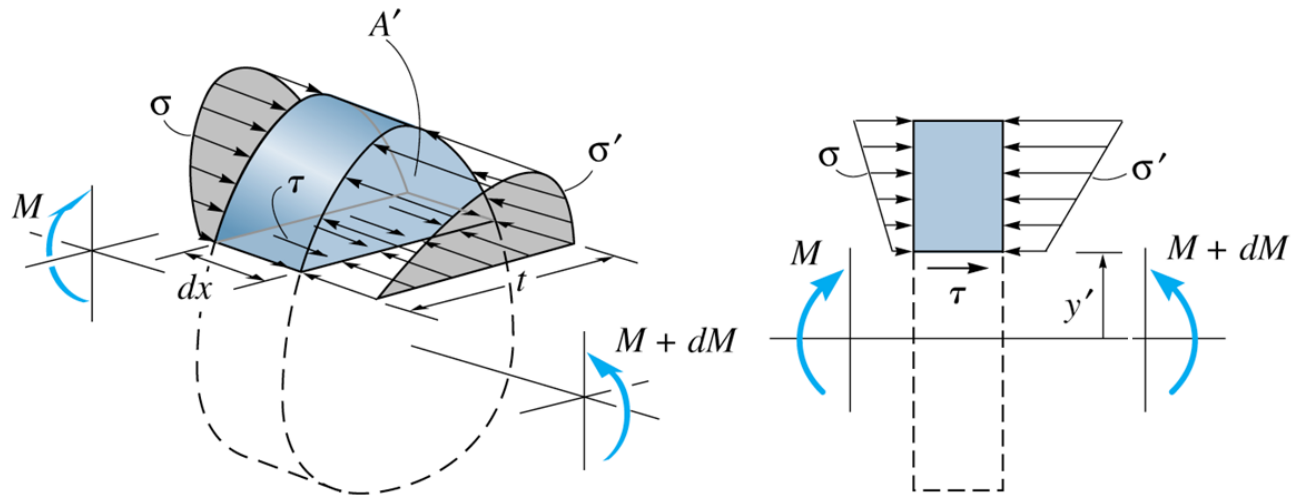
7.3 Formulación del cortante

Despejando τ

$$\tau = \frac{1}{I t} \left(\frac{dM}{dx} \right) \int_{A'} y dA$$

Donde

$$\bar{y}' = \frac{\int_{A'} y dA}{\int_{A'} dA}$$



7.1 Cortante en vigas

7.2 Relación entre carga cortante y momento

7.3 Formulación del cortante

7.4 Esfuerzo cortante en vigas

7.5 Flujo cortante en miembros armados

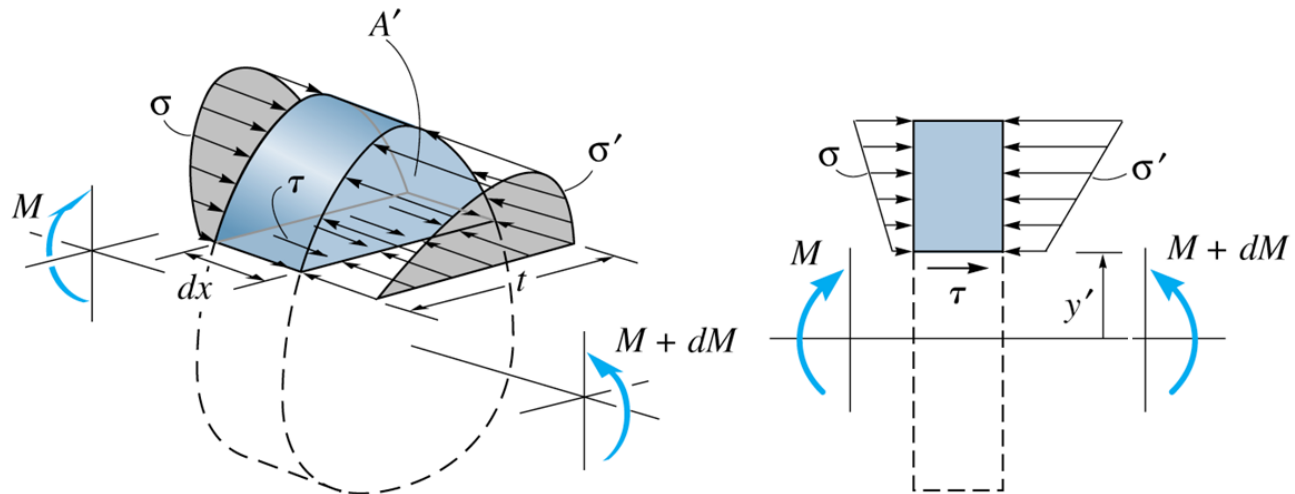
7.3 Formulación del cortante

Despejando τ

$$\tau = \frac{1}{I t} \left(\frac{dM}{dx} \right) \int_{A'} y dA$$

Donde

$$Q = \int_{A'} y dA = \bar{y}' A'$$



7.1 Cortante en vigas

7.2 Relación entre carga cortante y momento

7.3 Formulación del cortante

7.4 Esfuerzo cortante en vigas

7.5 Flujo cortante en miembros armados

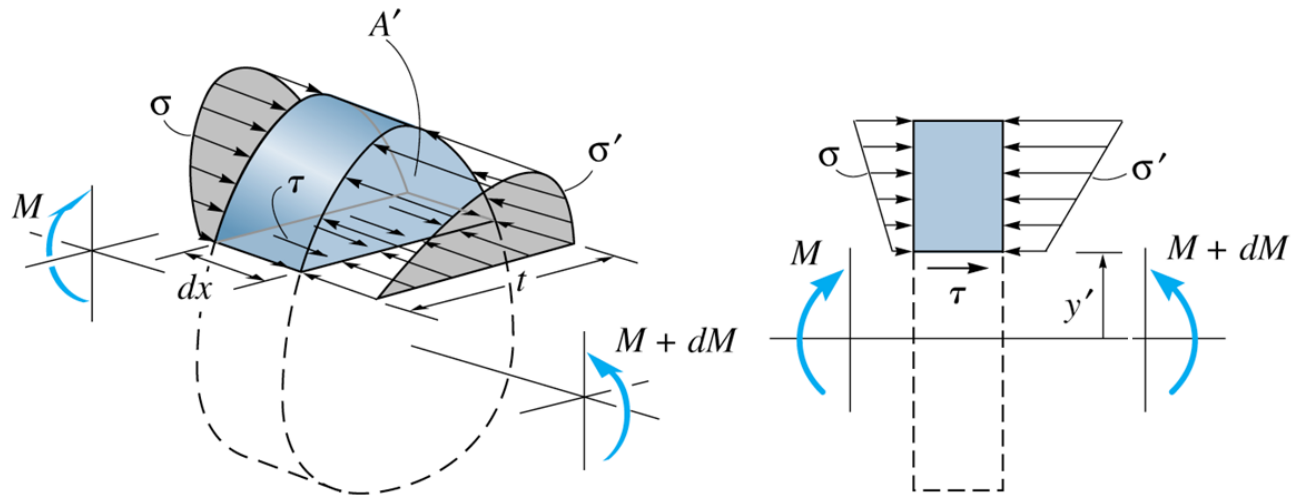
7.3 Formulación del cortante

Despejando τ

$$\tau = \frac{1}{I t} \left(\frac{dM}{dx} \right) Q$$

Donde

$$\frac{dM}{dx} = V$$



7.1 Cortante en vigas

7.2 Relación entre carga cortante y momento

7.3 Formulación del cortante

7.4 Esfuerzo cortante en vigas

7.5 Flujo cortante en miembros armados

7.3 Formulación del cortante

7.1 Cortante en vigas

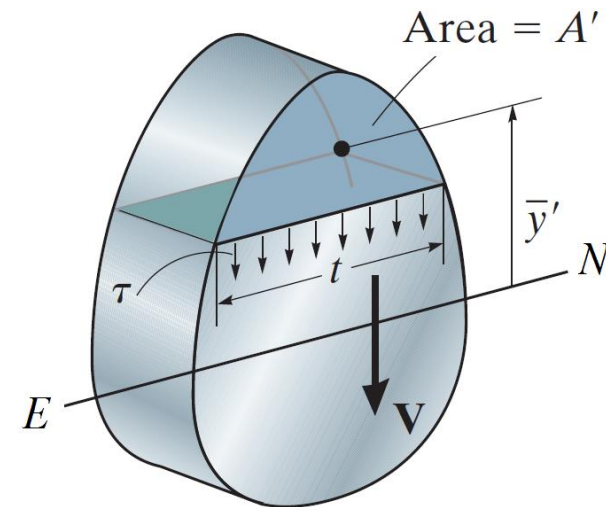
7.2 Relación entre carga cortante y momento

7.3 Formulación del cortante

7.4 Esfuerzo cortante en vigas

7.5 Flujo cortante en miembros armados

$$\tau = \frac{VQ}{I t}$$



τ : Esfuerzo cortante en un punto de la sección transversal a una distancia y' del eje neutro [Pa]

V : Fuerza cortante interna [N]

t : Ancho de la sección transversal medido en el punto donde τ es evaluado [m]

I : Momento de inercia de toda el área de la sección respecto al eje neutro [m^4]

$Q = \bar{y}' A'$, donde A' es la porción del área de la sección definida por el corte, \bar{y}' es la distancia al centroide de A' medida desde el eje neutro [m^3].

7.4 Esfuerzo cortante en vigas

Resistencia de Materiales 1A - Prof. Herbert Yépez C.

7.4 Esfuerzo cortante en vigas

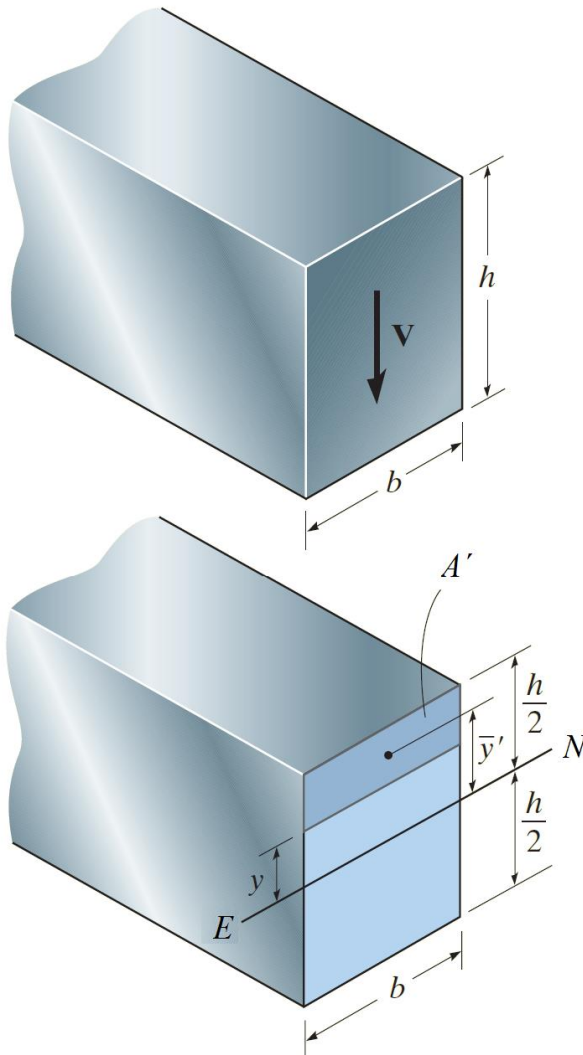
7.1 Cortante en vigas

7.2 Relación entre carga cortante y momento

7.3 Formulación del cortante

7.4 Esfuerzo cortante en vigas

7.5 Flujo cortante en miembros armados



Sección transversal – Rectangular

$$\tau = \frac{VQ}{It}$$

Donde:

$$t = b$$

$$I = \frac{1}{12}bh^3$$

$$Q = \bar{y}'A' = \left[y + \frac{1}{2} \left(\frac{h}{2} - y \right) \right] \left[\left(\frac{h}{2} - y \right) b \right]$$

$$= \frac{1}{2} \left(\frac{h^2}{4} - y^2 \right) b$$

7.4 Esfuerzo cortante en vigas

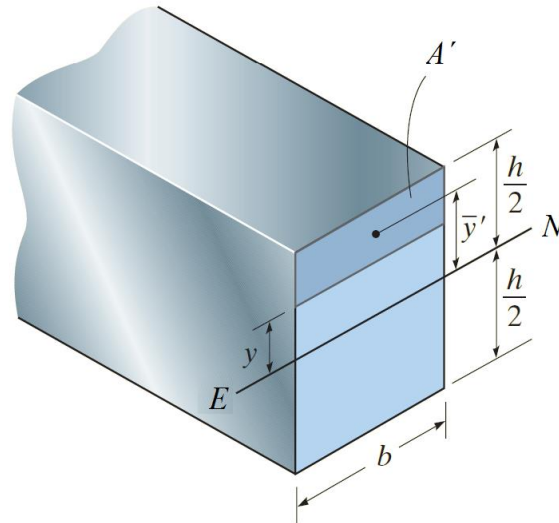
7.1 Cortante en vigas

7.2 Relación entre carga cortante y momento

7.3 Formulación del cortante

7.4 Esfuerzo cortante en vigas

7.5 Flujo cortante en miembros armados

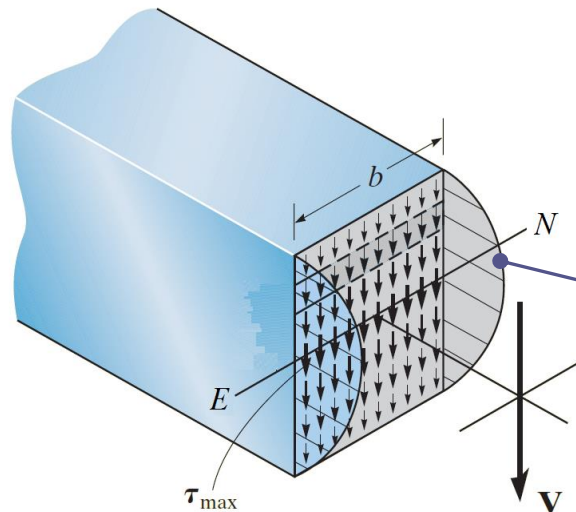


Sección transversal – Rectangular

$$\tau = \frac{VQ}{It}$$

$$\tau = \frac{V \frac{1}{2} \left(\frac{h^2}{4} - y^2 \right) b}{\frac{1}{12} b h^3 b}$$

$$\tau = \frac{6V}{bh^3} \left(\frac{h^2}{4} - y^2 \right)$$



Distribución del esfuerzo cortante sobre la sección transversal es **parabólica**.

7.4 Esfuerzo cortante en vigas

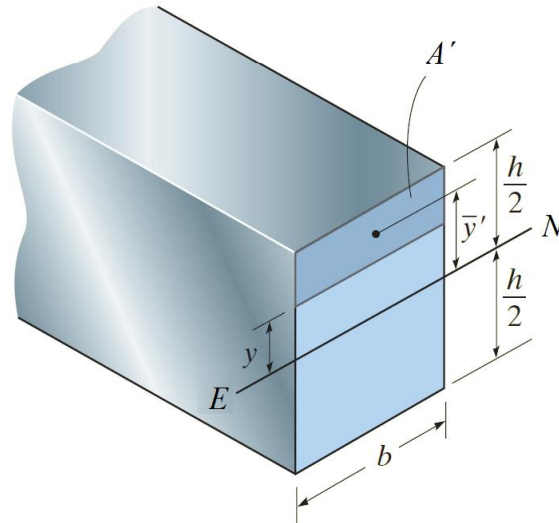
7.1 Cortante en vigas

7.2 Relación entre carga cortante y momento

7.3 Formulación del cortante

7.4 Esfuerzo cortante en vigas

7.5 Flujo cortante en miembros armados



Sección transversal – Rectangular

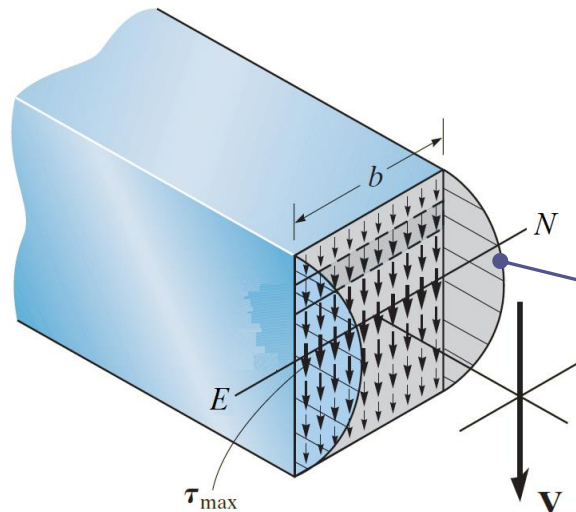
$$\tau = \frac{VQ}{It}$$

$$\tau = \frac{6V}{bh^3} \left(\frac{h^2}{4} - y^2 \right)$$

Si

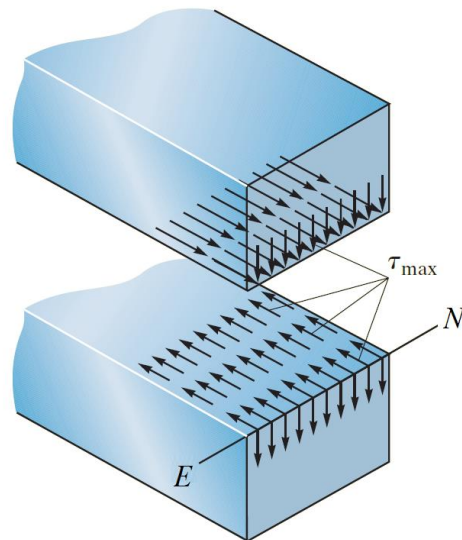
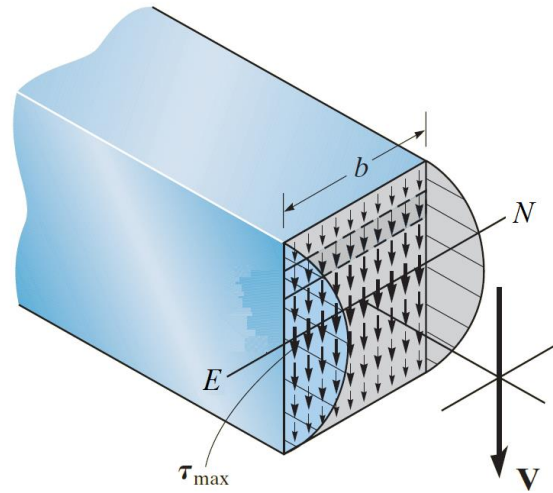
$$y = \pm \frac{h}{2} \rightarrow \tau = 0$$

$$y = 0 \rightarrow \tau_{\max} = 1.5 \frac{V}{A}$$



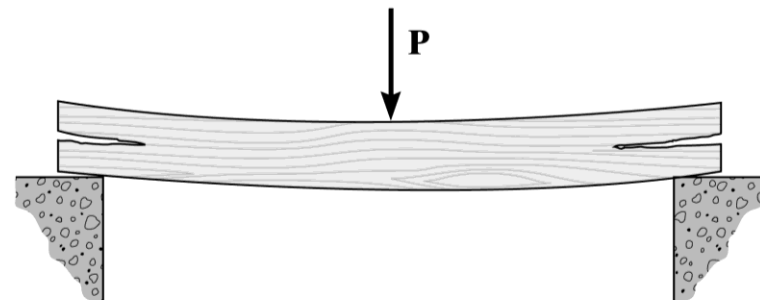
Distribución del esfuerzo cortante sobre la sección transversal es **parabólica**.

7.4 Esfuerzo cortante en vigas



Sección transversal – Rectangular

- Si la viga es seccionada por un **plano longitudinal** que pasa por el eje neutro, entonces se observaría que el esfuerzo cortante máximo está actuando sobre ese plano.
- Por ejemplo, el esfuerzo cortante máximo sobre el plano longitudinal podría provocar que una viga de madera falle.



7.1 Cortante en vigas

7.2 Relación entre carga cortante y momento

7.3 Formulación del cortante

7.4 Esfuerzo cortante en vigas

7.5 Flujo cortante en miembros armados

7.4 Esfuerzo cortante en vigas

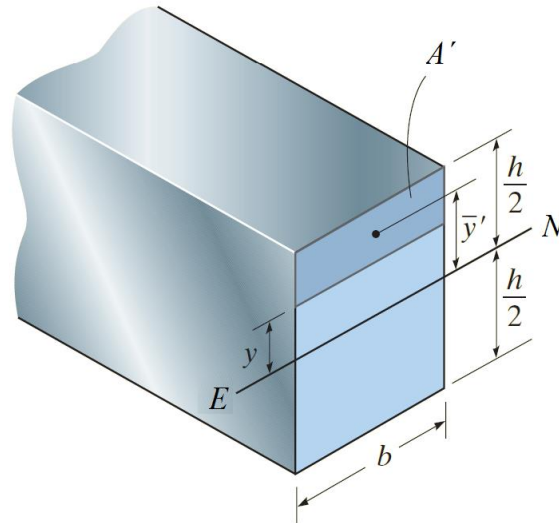
7.1 Cortante en vigas

7.2 Relación entre carga cortante y momento

7.3 Formulación del cortante

7.4 Esfuerzo cortante en vigas

7.5 Flujo cortante en miembros armados



Sección transversal – Rectangular

Evaluando el área por encima del eje neutro.

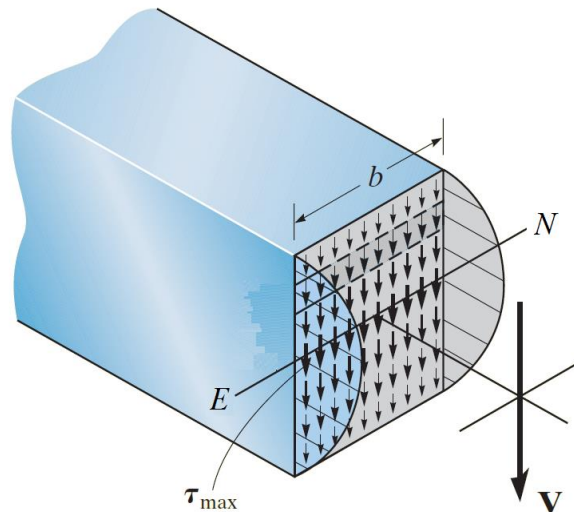
$$\tau = \frac{VQ}{It}$$

Donde

$$t = b$$

$$I = \frac{1}{12}bh^3$$

$$Q = \bar{y}'A' = \left[\frac{h}{4}\right]\left[\frac{h}{2}b\right] = \frac{h^2}{8}b$$



7.4 Esfuerzo cortante en vigas

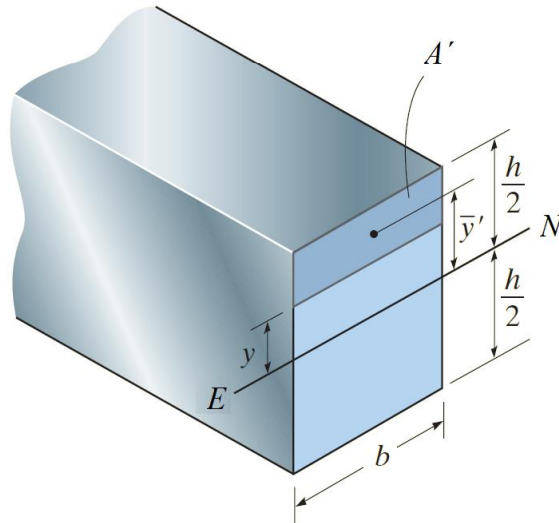
7.1 Cortante en vigas

7.2 Relación entre carga cortante y momento

7.3 Formulación del cortante

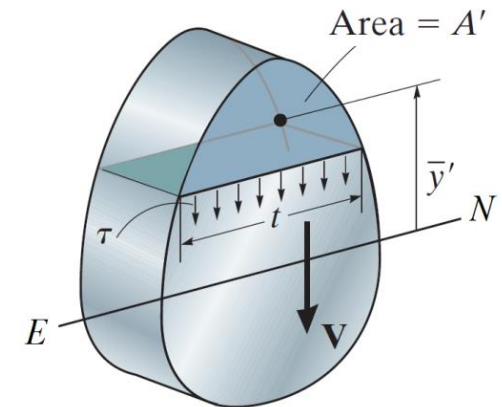
7.4 Esfuerzo cortante en vigas

7.5 Flujo cortante en miembros armados

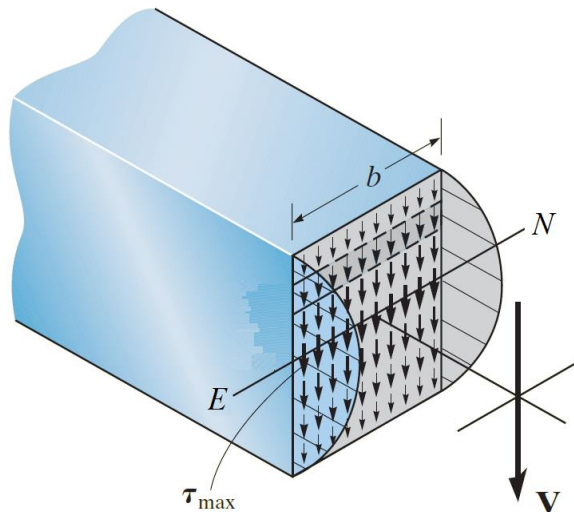


Sección transversal – Rectangular

Evaluando el área por encima del eje neutro.



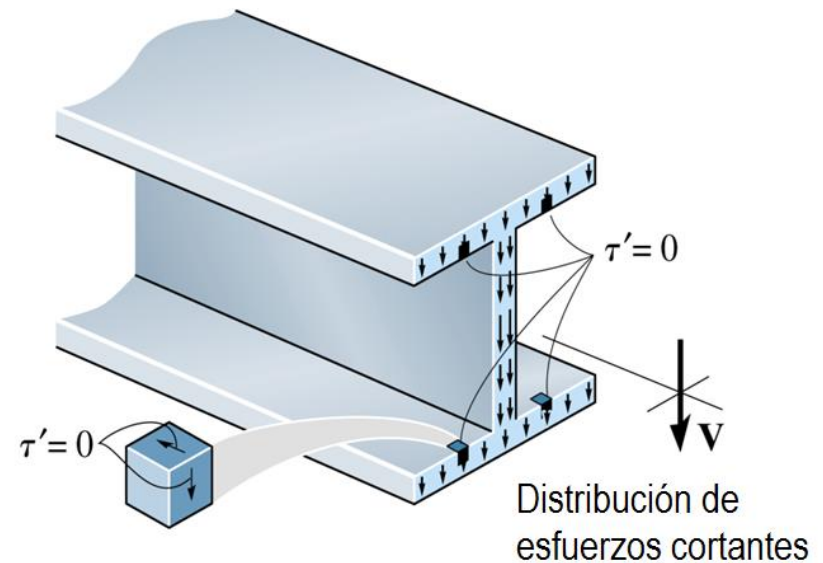
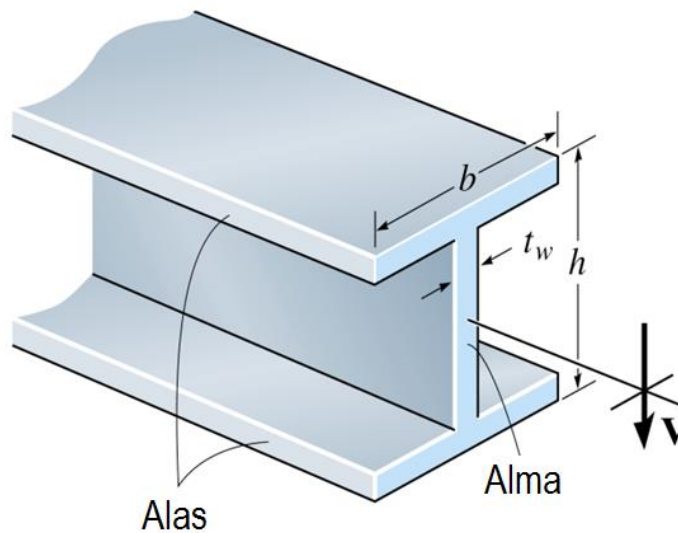
$$\tau = \frac{VQ}{I t}$$



$$\tau = \frac{V \left(\frac{h^2}{8} b \right)}{\frac{1}{12} b h^3 b} = \frac{12 V}{8 b h} = 1.5 \frac{V}{A}$$

7.4 Esfuerzo cortante en vigas

Sección transversal – Perfil I



7.1 Cortante en vigas

7.2 Relación entre carga cortante y momento

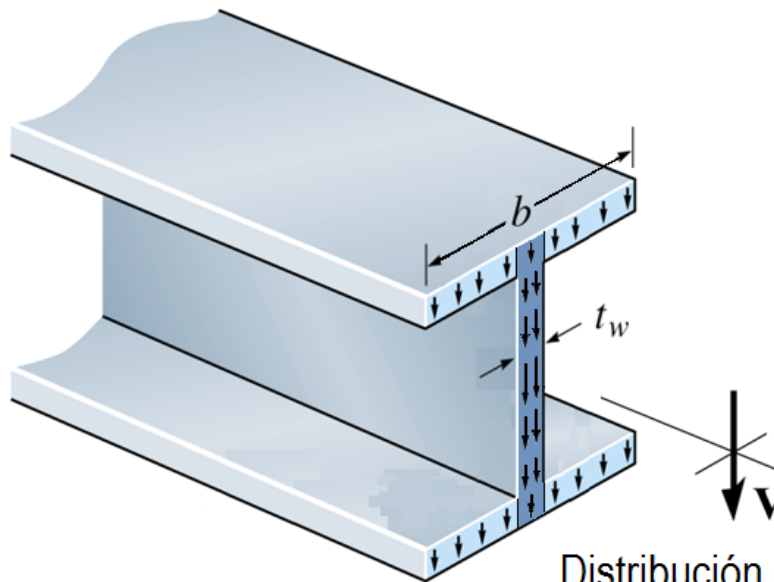
7.3 Formulación del cortante

7.4 Esfuerzo cortante en vigas

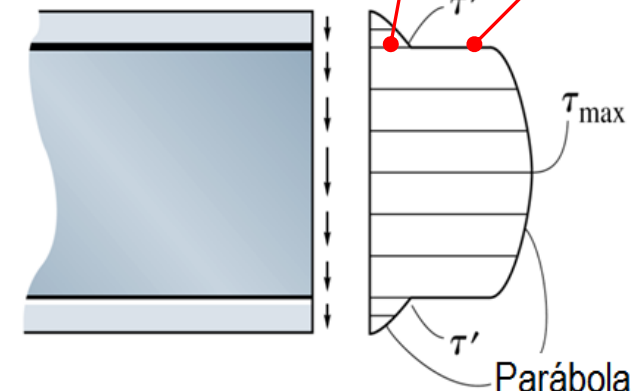
7.5 Flujo cortante en miembros armados

7.4 Esfuerzo cortante en vigas

Sección transversal – Perfil I



Distribución de esfuerzos cortantes



Intensidad de la distribución de esfuerzos cortantes

$$\tau' = \frac{VQ}{Ib}$$

$$\tau = \frac{VQ}{It_w}$$

Parábola

7.1 Cortante en vigas

7.2 Relación entre carga cortante y momento

7.3 Formulación del cortante

7.4 Esfuerzo cortante en vigas

7.5 Flujo cortante en miembros armados

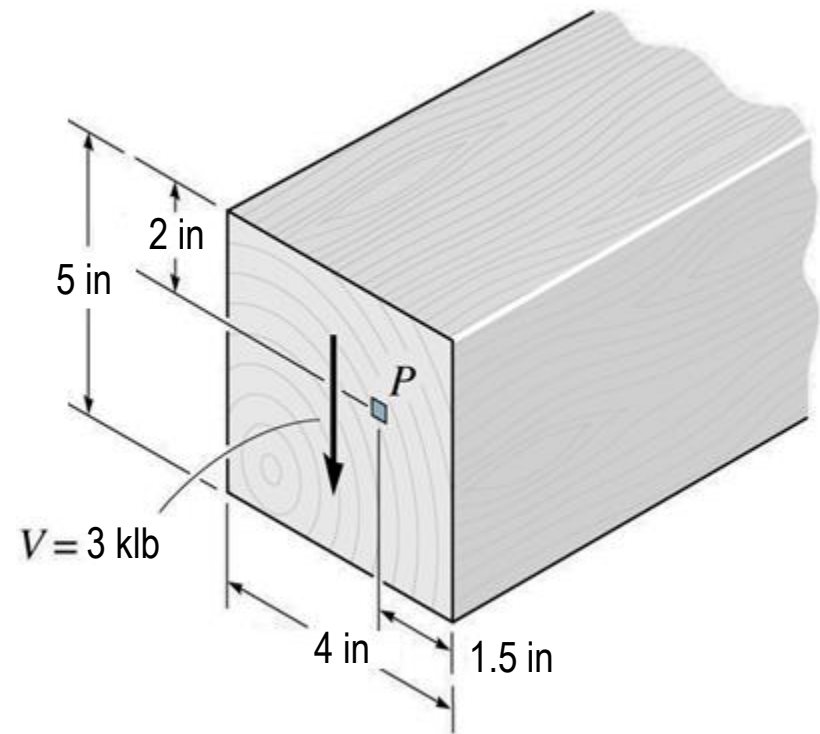
Ejercicios propuestos

Resistencia de Materiales 1A - Prof. Herbert Yépez C.

Problema 01

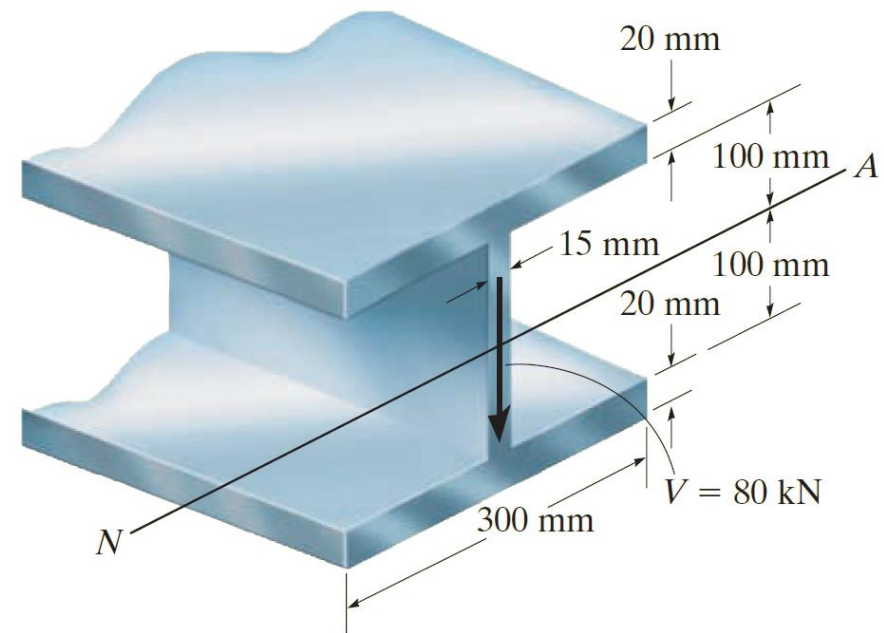
Ref. Hibbeler R. Mecánica de Materiales

Determinar el esfuerzo cortante en P y el esfuerzo cortante máximo



Problema 02 Ref. Hibbeler R. Mecánica de Materiales

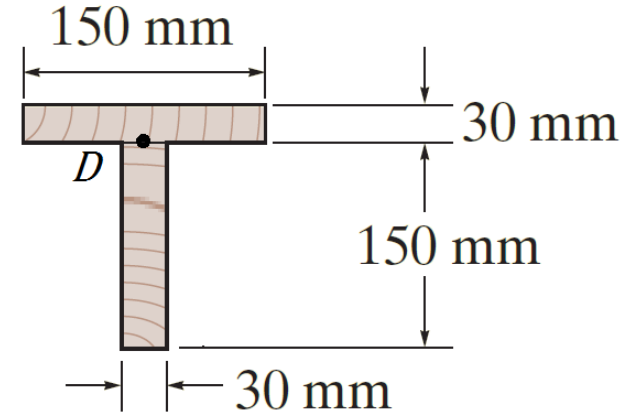
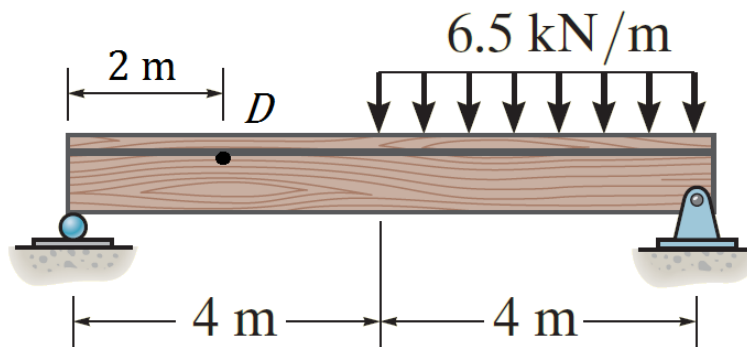
Diagramar la distribución de esfuerzos cortantes que actúa en el área de la sección.
Determinar la fuerza cortante resistida por el alma.



Problema 03

Ref. Hibbeler R. Mecánica de Materiales

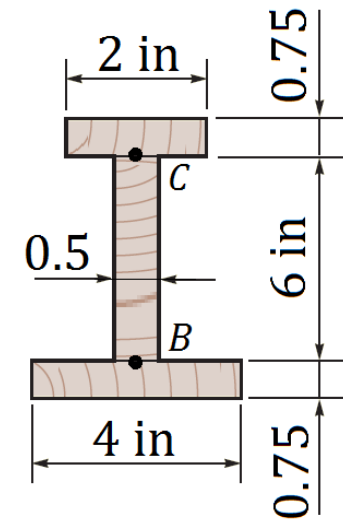
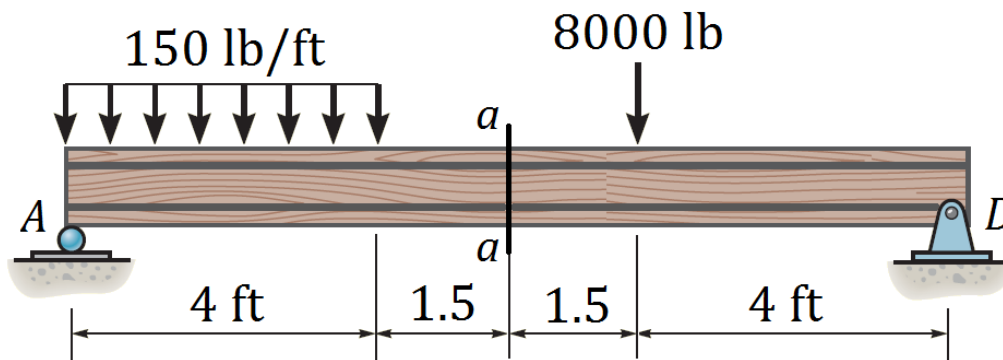
Determinar el esfuerzo cortante del pegamento entre las tablas en el punto D.



Problema 04

Ref. Hibbeler R. Mecánica de Materiales

Determinar el esfuerzo cortante en la sección a-a de los puntos B y C en el alma del perfil, además graficar la distribución de esfuerzos cortantes en la misma sección a-a.

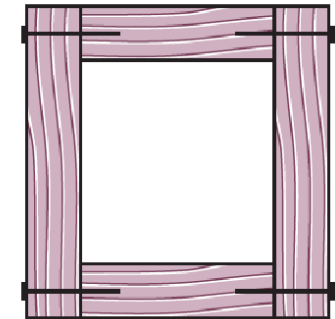
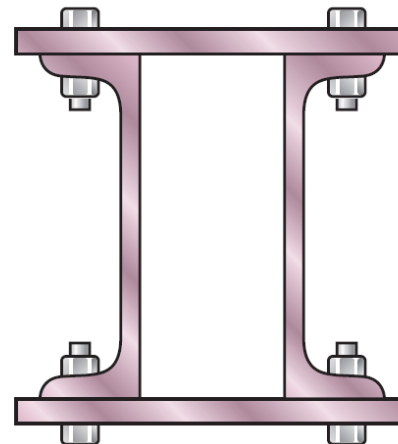
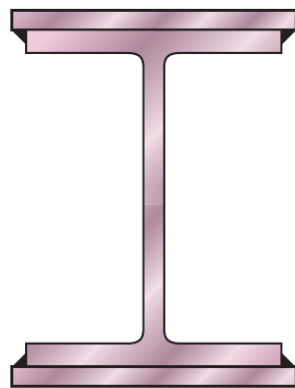


7.5 Flujo cortante en miembros armados

Resistencia de Materiales 1A - Prof. Herbert Yépez C.

7.5 Flujo cortante en miembros armados

- En ingeniería es una práctica usual utilizar miembros armados.
- Se requiere de elementos de unión, tales como clavos, pernos, soldadura o pegamento, con la finalidad de evitar el deslizamiento de un miembro respecto a otro.
- Para diseñar o seleccionar los elementos de unión es necesario determinar la fuerza cortante sobre ellos.



7.1 Cortante en vigas

7.2 Relación entre carga cortante y momento

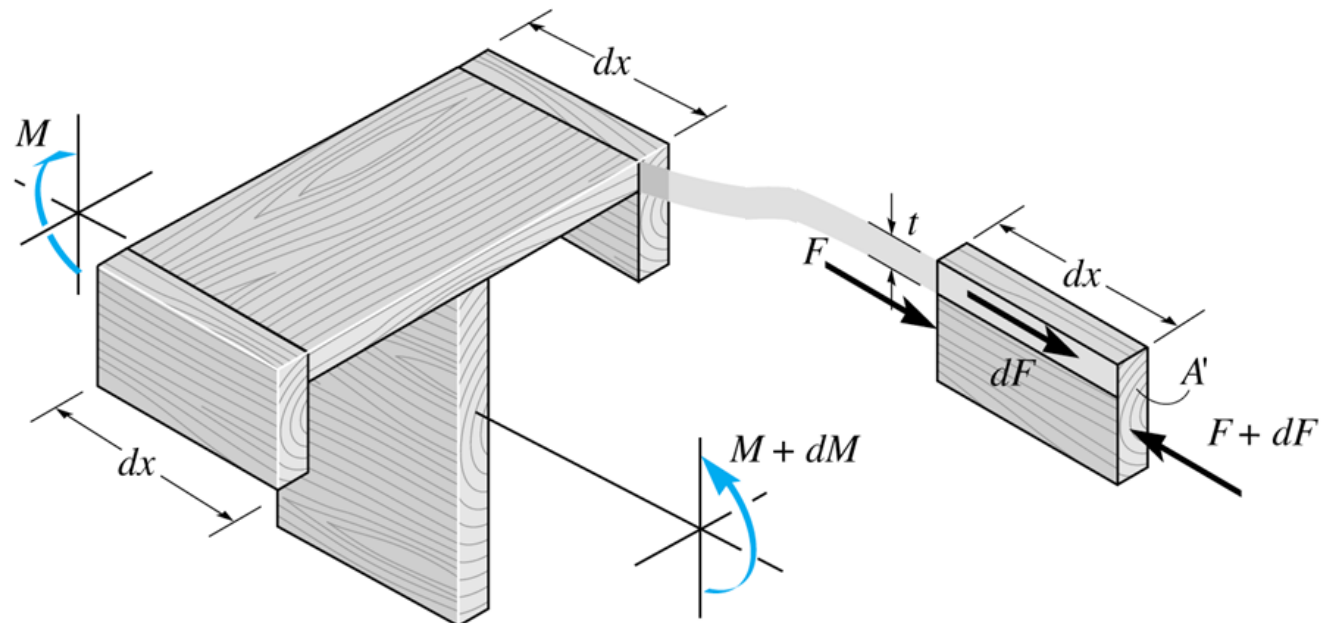
7.3 Formulación del cortante

7.4 Esfuerzo cortante en vigas

7.5 Flujo cortante en miembros armados

7.5 Flujo cortante en miembros armados

- La fuerza cortante que deben resistir los elementos de unión esta presente a lo largo del miembro armado.
- Esta carga, cuando se mide como fuerza por unidad de longitud, se denomina **flujo de corte** y se representa por q .
- El desarrollo de la formulación del flujo de corte es similar a la del esfuerzo cortante.



7.1 Cortante en vigas

7.2 Relación entre carga cortante y momento

7.3 Formulación del cortante

7.4 Esfuerzo cortante en vigas

7.5 Flujo cortante en miembros armados

7.5 Flujo cortante en miembros armados

7.1 Cortante en vigas

7.2 Relación entre carga cortante y momento

7.3 Formulación del cortante

7.4 Esfuerzo cortante en vigas

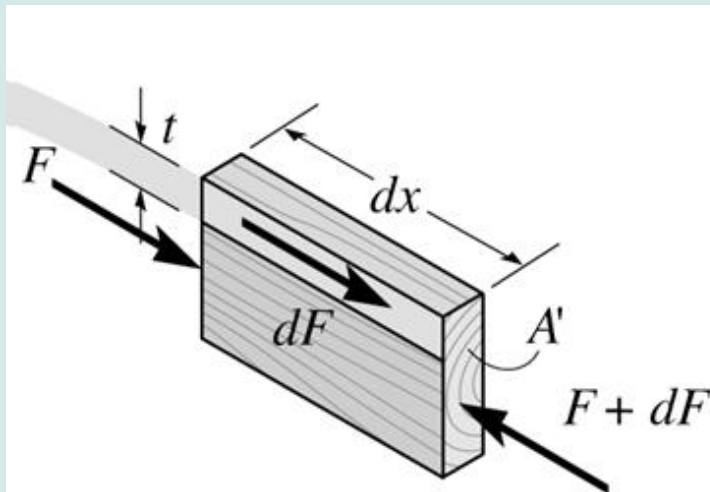
7.5 Flujo cortante en miembros armados

$$\Sigma F_x = 0$$

$$\int_{A'} \sigma' dA - \int_{A'} \sigma dA - dF = 0$$

Donde

$$\sigma = \frac{M}{I} y \quad \sigma' = \frac{(M + dM)}{I} y$$

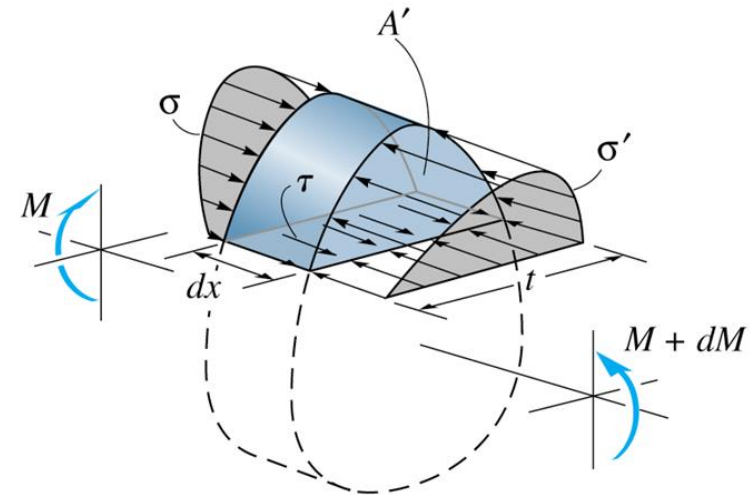


$$\Sigma F_x = 0$$

$$\int_{A'} \sigma' dA - \int_{A'} \sigma dA - \tau(t dx) = 0$$

Donde

$$\sigma = \frac{M}{I} y \quad \sigma' = \frac{(M + dM)}{I} y$$



7.5 Flujo cortante en miembros armados

7.1 Cortante en vigas

7.2 Relación entre carga cortante y momento

7.3 Formulación del cortante

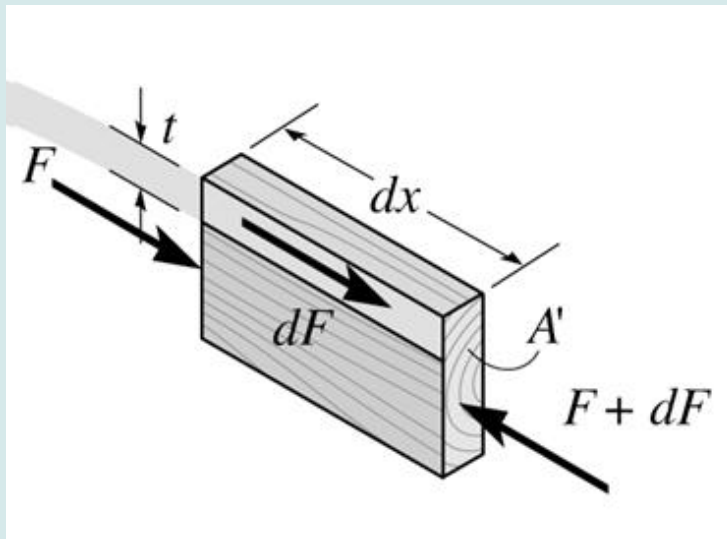
7.4 Esfuerzo cortante en vigas

7.5 Flujo cortante en miembros armados

$$\int_{A'} \frac{(M + dM)}{I} y dA - \int_{A'} \frac{M}{I} y dA - dF = 0$$

Entonces

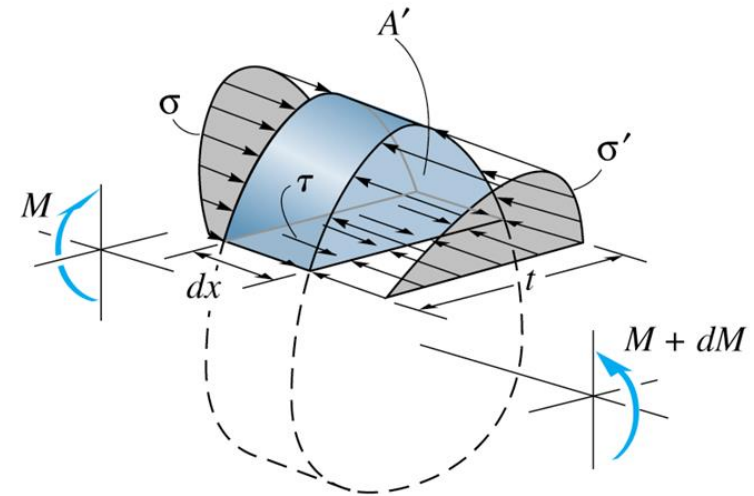
$$\frac{dM}{I} \int_{A'} y dA = dF$$



$$\int_{A'} \frac{(M + dM)}{I} y dA - \int_{A'} \frac{M}{I} y dA - \tau(t dx) = 0$$

Entonces

$$\frac{dM}{I} \int_{A'} y dA = \tau(t dx)$$



7.5 Flujo cortante en miembros armados

7.1 Cortante en vigas

7.2 Relación entre carga cortante y momento

7.3 Formulación del cortante

7.4 Esfuerzo cortante en vigas

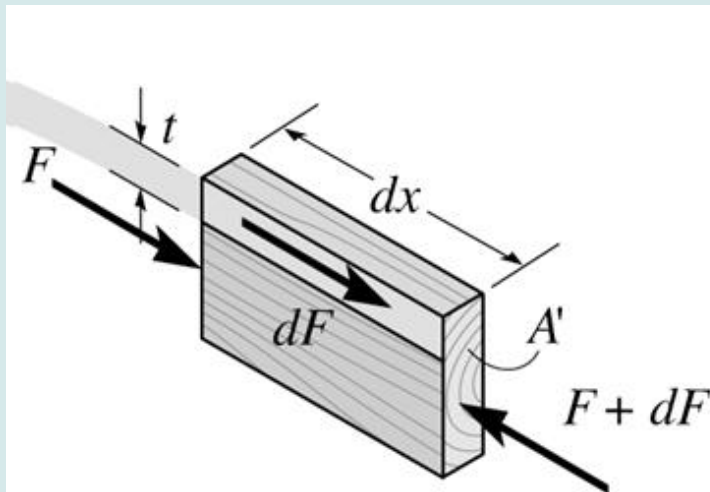
7.5 Flujo cortante en miembros armados

Despejando dF

$$dF = \frac{1}{I} \left(\frac{dM}{dx} \right) \int_{A'} y dA$$

Donde

$$\bar{y}' = \frac{\int_{A'} y dA}{\int_{A'} dA}$$

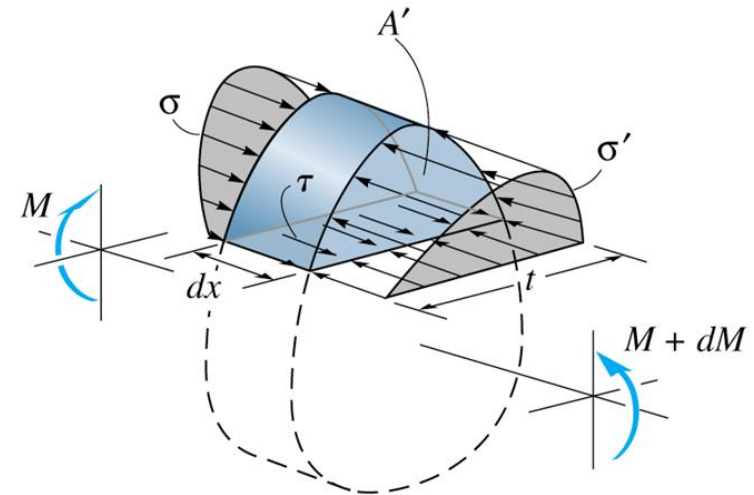


Despejando τ

$$\tau = \frac{1}{I t} \left(\frac{dM}{dx} \right) \int_{A'} y dA$$

Donde

$$\bar{y}' = \frac{\int_{A'} y dA}{\int_{A'} dA}$$



7.5 Flujo cortante en miembros armados

7.1 Cortante en vigas

7.2 Relación entre carga cortante y momento

7.3 Formulación del cortante

7.4 Esfuerzo cortante en vigas

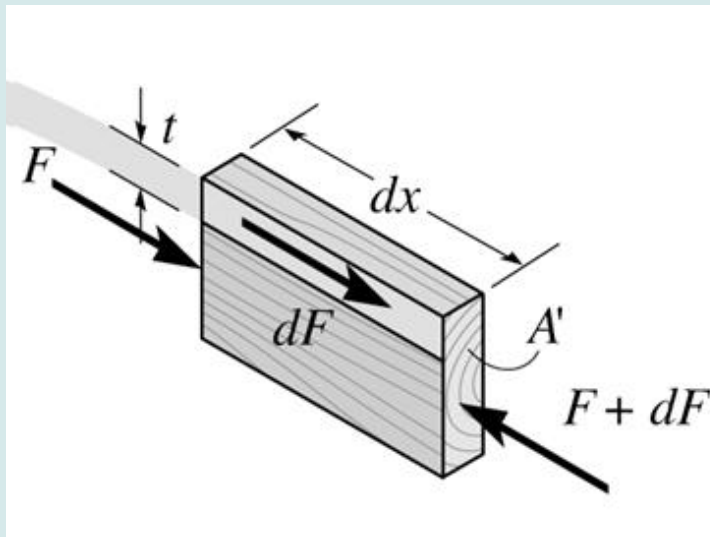
7.5 Flujo cortante en miembros armados

Despejando dF

$$dF = \frac{1}{I} \left(\frac{dM}{dx} \right) \int_{A'} y dA$$

Donde

$$Q = \int_{A'} y dA = \bar{y}' A'$$

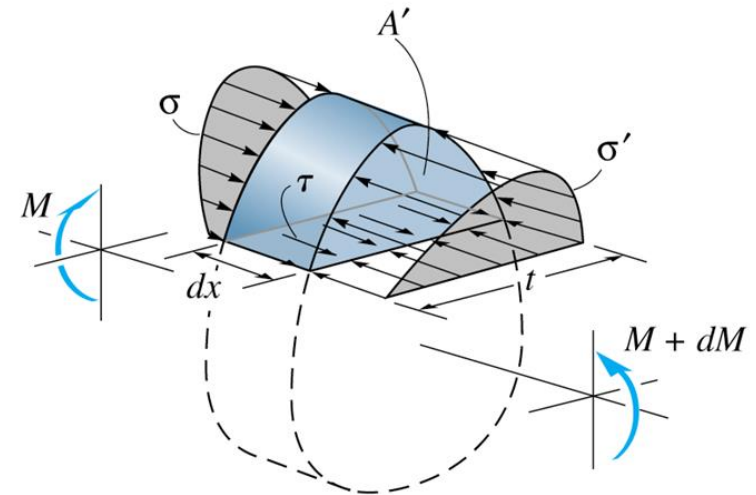


Despejando τ

$$\tau = \frac{1}{I t} \left(\frac{dM}{dx} \right) \int_{A'} y dA$$

Donde

$$Q = \int_{A'} y dA = \bar{y}' A'$$



7.5 Flujo cortante en miembros armados

7.1 Cortante en vigas

7.2 Relación entre carga cortante y momento

7.3 Formulación del cortante

7.4 Esfuerzo cortante en vigas

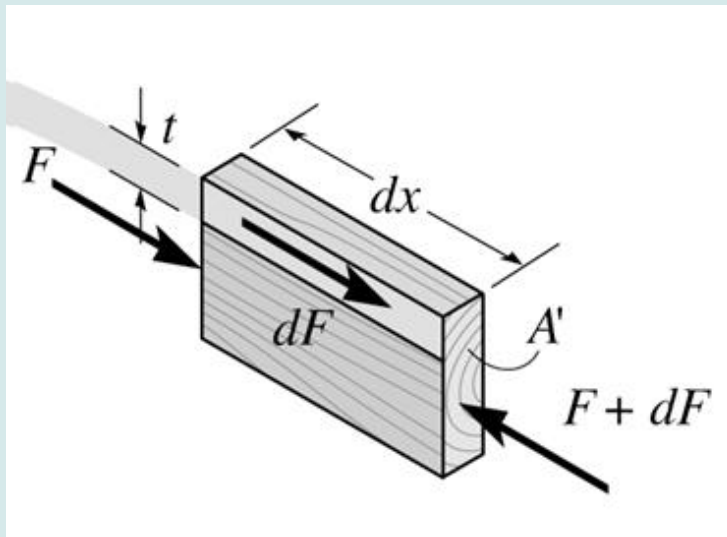
7.5 Flujo cortante en miembros armados

Despejando dF

$$dF = \frac{1}{I} \left(\frac{dM}{1} \right) Q$$

Donde

$$q = \frac{dF}{dx} \quad \frac{dM}{dx} = V$$

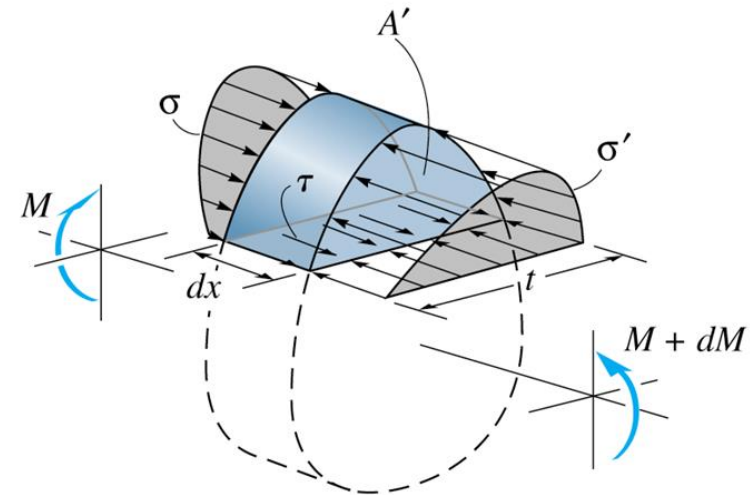


Despejando τ

$$\tau = \frac{1}{I t} \left(\frac{dM}{dx} \right) Q$$

Donde

$$\frac{dM}{dx} = V$$



7.5 Flujo cortante en miembros armados

7.1 Cortante en vigas

7.2 Relación entre carga cortante y momento

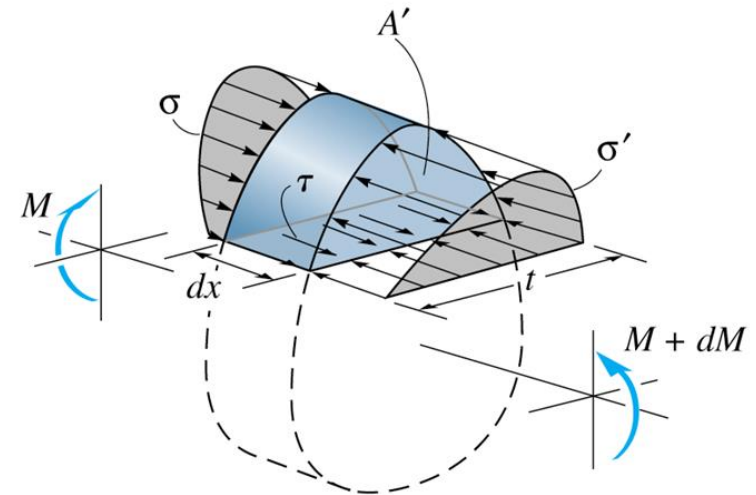
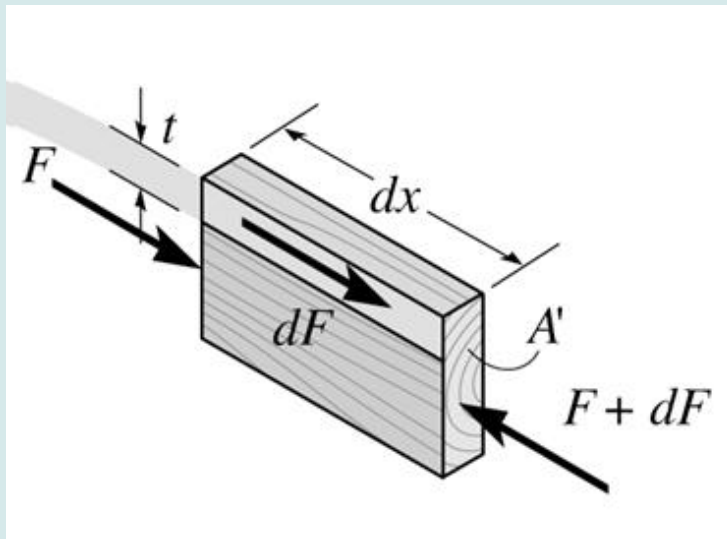
7.3 Formulación del cortante

7.4 Esfuerzo cortante en vigas

7.5 Flujo cortante en miembros armados

$$q = \frac{VQ}{I}$$

$$\tau = \frac{VQ}{I t}$$



7.5 Flujo cortante en miembros armados

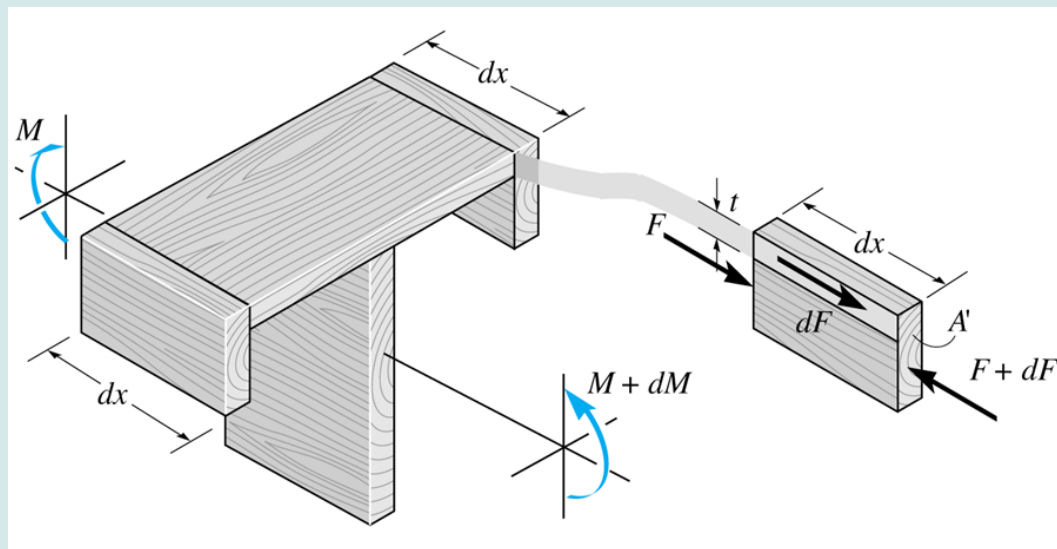
7.1 Cortante en vigas

7.2 Relación entre carga cortante y momento

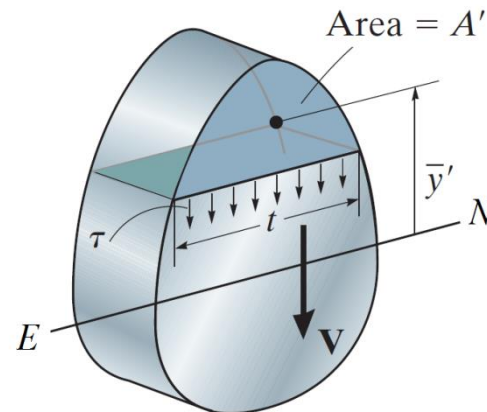
7.3 Formulación del cortante

7.4 Esfuerzo cortante en vigas

7.5 Flujo cortante en miembros armados



$$q = \frac{VQ}{I} \quad \left[\frac{N}{m} \right]$$



$$\tau = \frac{VQ}{I t} \quad \left[\frac{N}{m^2} \right]$$

7.3 Formulación del cortante

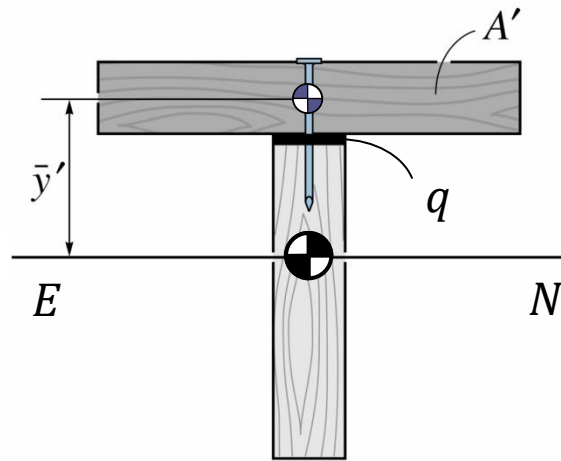
7.1 Cortante en vigas

7.2 Relación entre carga cortante y momento

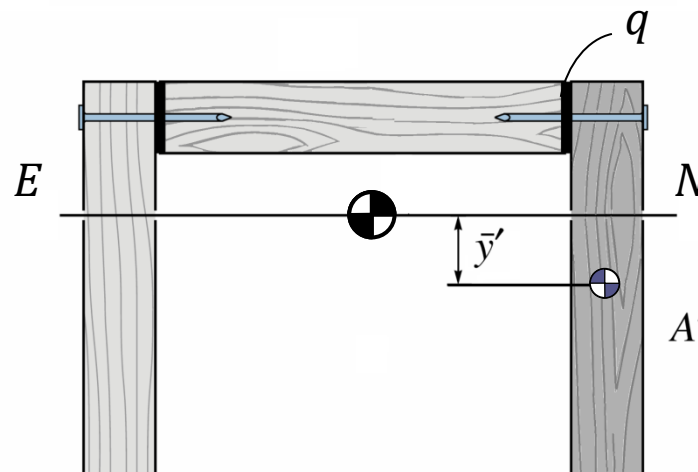
7.3 Formulación del cortante

7.4 Esfuerzo cortante en vigas

7.5 Flujo cortante en miembros armados



$$q = \frac{VQ}{I} = \frac{V}{I} (\bar{y}' A')$$



$$q = \frac{VQ}{I} = \frac{V}{I} (\bar{y}' A')$$

7.3 Formulación del cortante

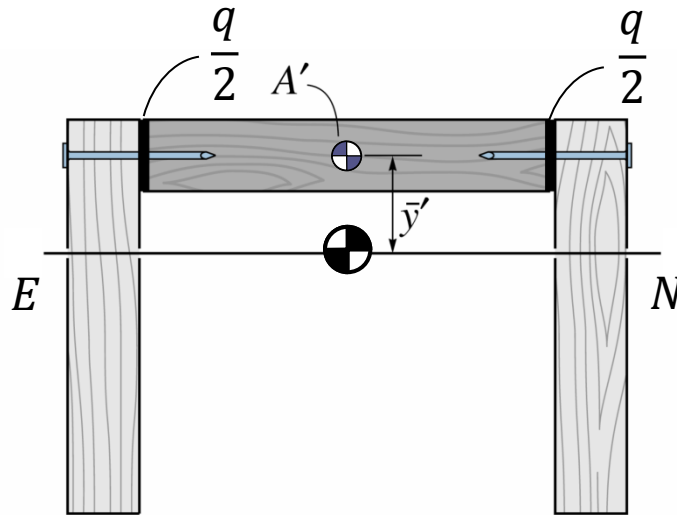
7.1 Cortante en vigas

7.2 Relación entre carga cortante y momento

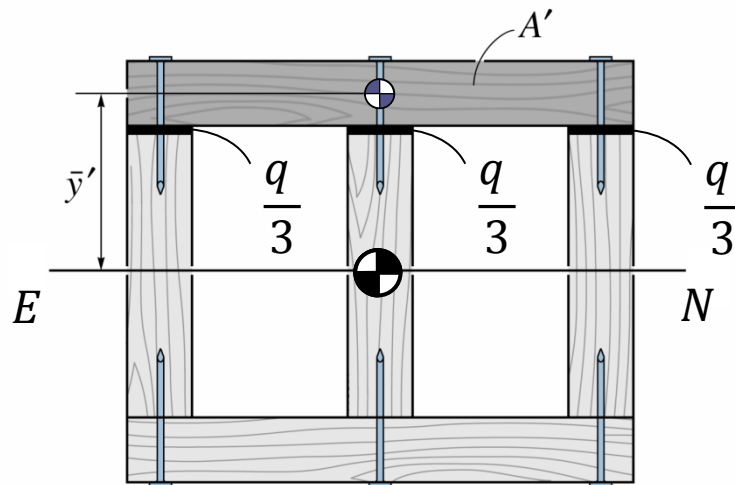
7.3 Formulación del cortante

7.4 Esfuerzo cortante en vigas

7.5 Flujo cortante en miembros armados



$$q = \frac{VQ}{I} = \frac{V}{I} (\bar{y}' A')$$



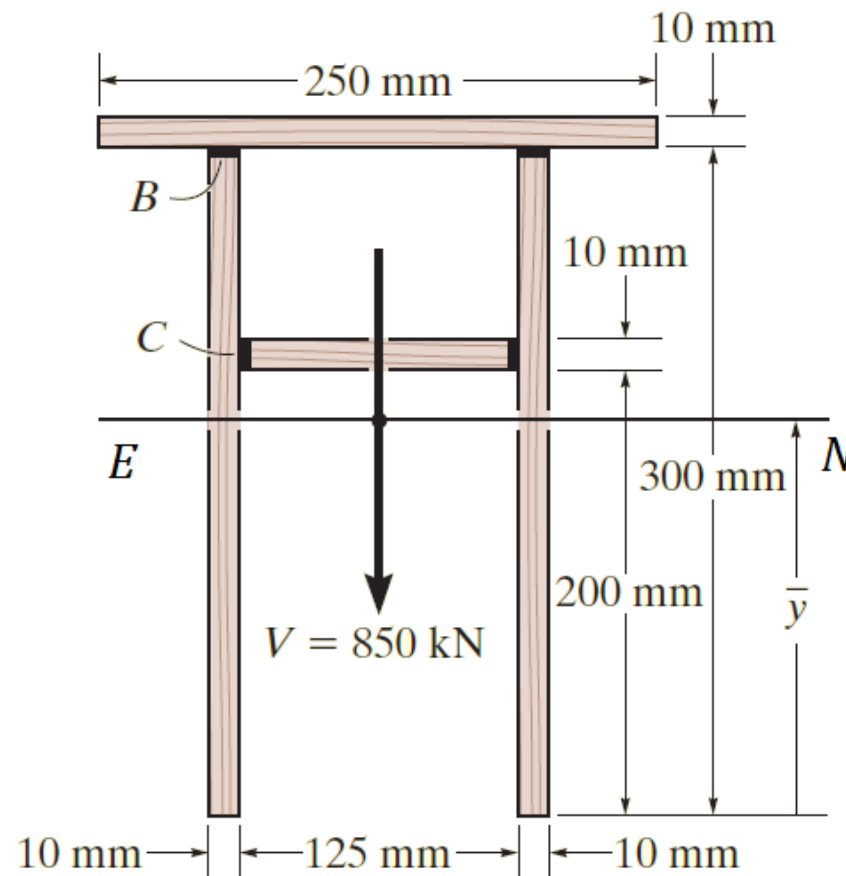
$$q = \frac{VQ}{I} = \frac{V}{I} (\bar{y}' A')$$

Problema 01

Ref. Hibbeler R. Mecánica de Materiales

Determinar el flujo de cortante de B y C.

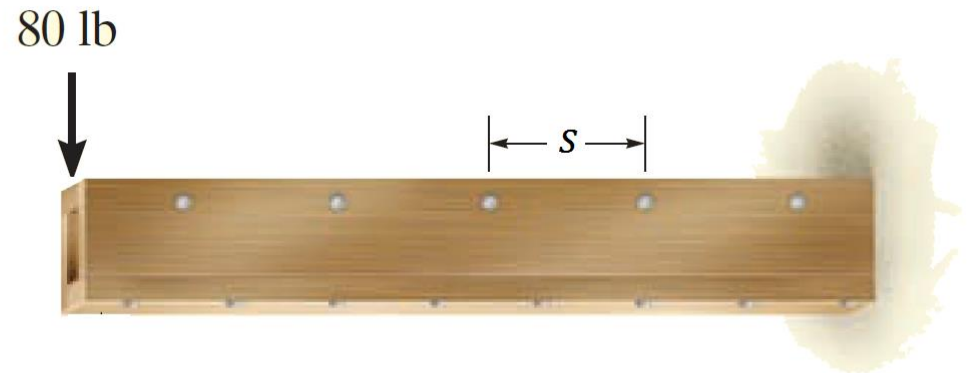
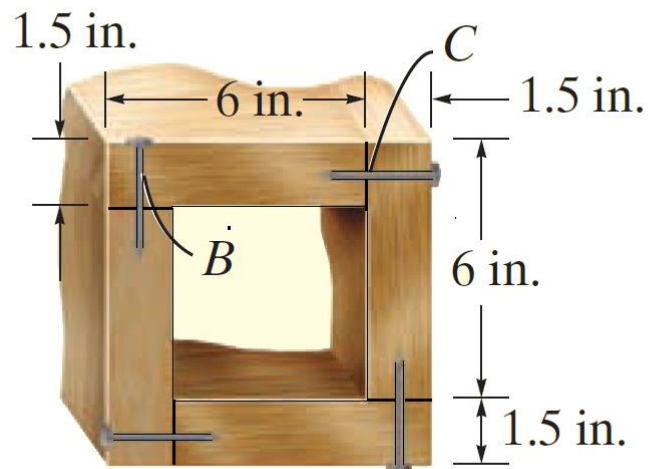
Rpta. 1.315 MN/m , $4.98E-2 \text{ MN/m}$



Problema 02 Ref. Hibbeler R. Mecánica de Materiales

Determinar la separación entre clavos S_B y S_C , si cada uno puede resistir una fuerza cortante de 30 lb.

Rpta. 5.1 in, 8.5 in.

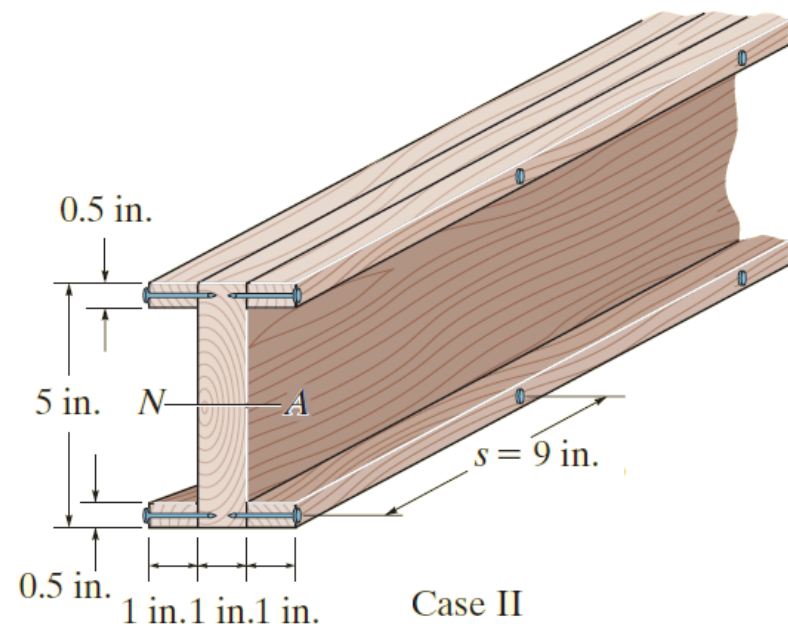
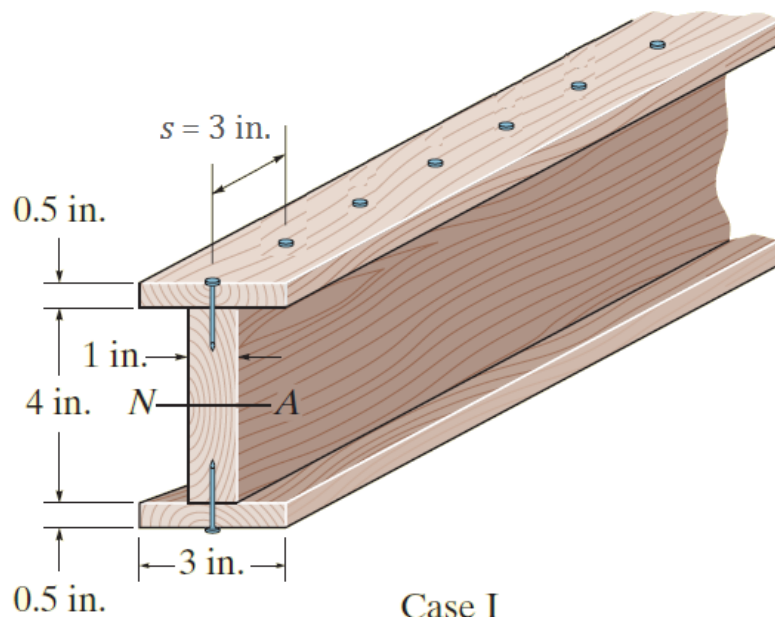


Problema 03

Ref. Hibbeler R. Mecánica de Materiales

Si cada elemento de unión puede soportar una fuerza cortante de 40 lb, determinar cual es la mejor alternativa constructiva.

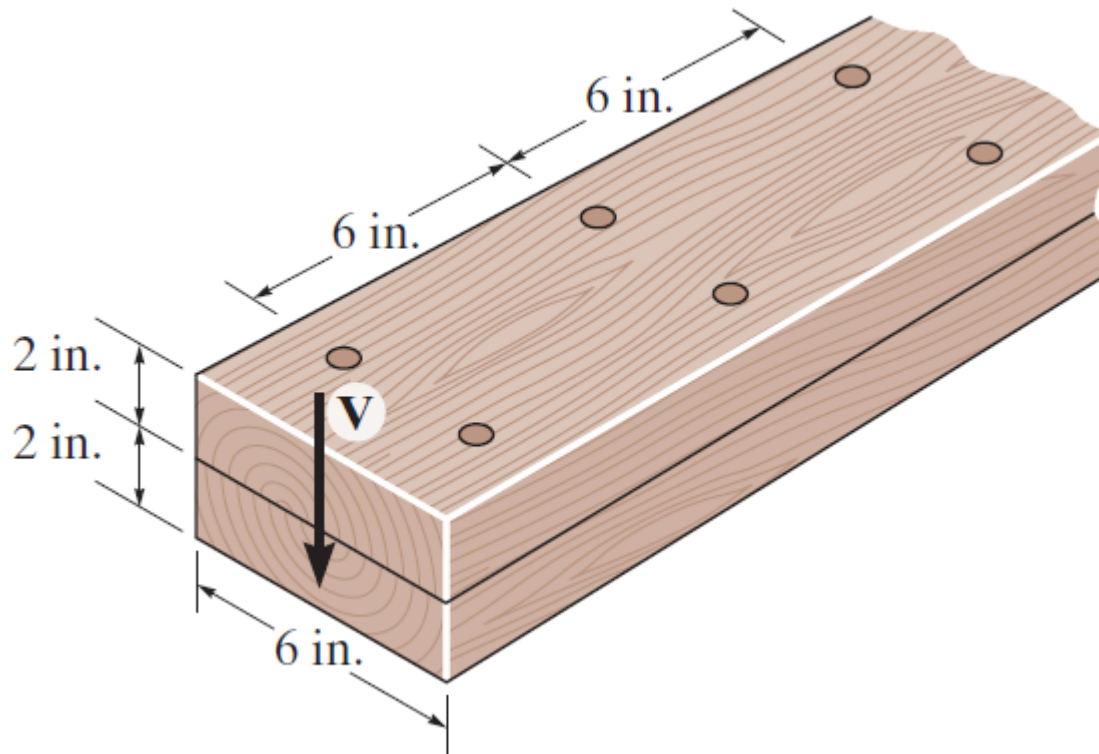
Rpta. Son iguales.



Problema 04 Ref. Hibbeler R. Mecánica de Materiales

Si cada elemento de unión puede soportar una fuerza cortante de 500 lb y el esfuerzo cortante permisible para las tablas es de 300 psi, determinar la fuerza cortante máxima en la sección.

Rpta. 444.44 lb.

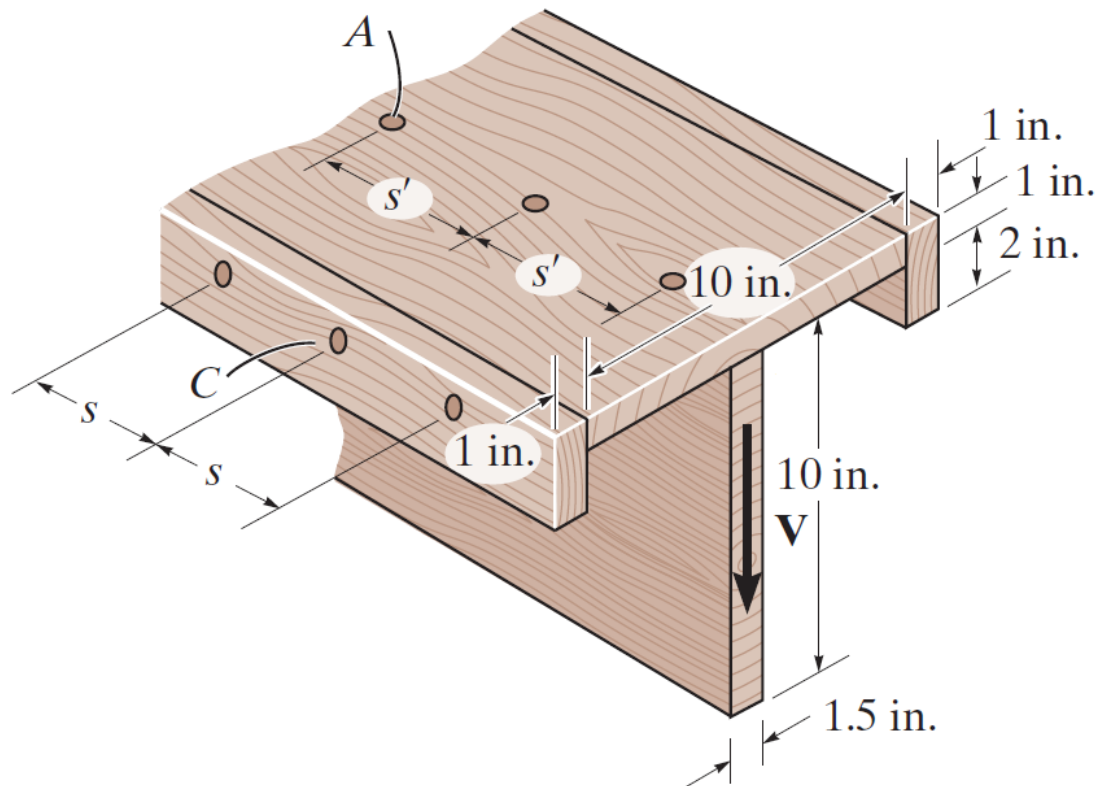


Problema 05

Ref. Hibbeler R. Mecánica de Materiales

Si cada elemento de unión puede soportar una fuerza cortante de 100 lb y la fuerza cortante en la sección es 700 lb, determinar la separación entre cada elemento.

Rpta. 1.21 in, 8.66 in.



Problema 06 Ref. Hibbeler R. Mecánica de Materiales

Si cada elemento de unión puede soportar una fuerza cortante de 15 klb y la fuerza cortante de la sección es 50 klb, determinar la distancia S .

Rpta. 5.52 in.

